

*Переменные звезды 21, № 1, 3 – 44, 1978.*  
*Variable Stars 21, No 1, 3 – 44, 1978.*

**Высокоскоростная фотометрия вспышек UV Кита и EV Ящерицы  
в инфракрасной области спектра**  
**Н.Н. Килиячков, В.В. Брюевич, В.В. Котышев,  
В.С. Шевченко**

В режиме высокоскоростной фотометрии зарегистрирована 31 вспышка EV Lac и 89 вспышек UV Cet. 30% времени патрулирование проведено синхронно на трех телескопах, 70% – на двух. По 18 вспышкам с  $\Delta m U > 2^m.0$  найдена взаимосвязь между энергиями вспышек в фильтрах U и  $\lambda_{\text{эфф}} = 8050 \text{ \AA}$ .  $E_U = (2.1 \pm 0.4) E_{8050}$ . В 16 случаях отмечено предвспышечное ослабление блеска в фильтре 8050 Å.

**High - Velocity Photometry of UV Ceti and EV Lacertae Flares  
in the Near Infrared**

**by N.N. Kilyachkov, V.V. Bruyevitch, V.V. Kotishev  
and V.S. Shevchenko**

31 flares of EV Lac and 89 flares of UV Cet have been registered in the high-speed photometry regime. During 30 per cent of the patrol time the observations have been carried out with three telescopes simultaneously and 70 per cent with two ones, 18 flares with  $\Delta m U > 2^m.0$  show the relation between their energies in U-filter and at  $\lambda_{\text{eff}} = 8050 \text{ \AA}$   
 $E_U = (2.1 \pm 0.4) E_{8050}$ .

16 cases of infrared weakening of light before the flare were marked.

**Введение.** В настоящей работе поставлена задача скоростной фотометрии вспыхивающих звезд в ближней инфракрасной области спектра синхронно с наблюдениями в системе U. Наблюдения вспышек звезд типа UV Кита в ближней инфракрасной области спектра представляют интерес в связи с возможностью проверки некоторых теорий вспышечной активности красных карликов. Гурзадян (1973), предполагая, что оптические вспышки происходят при обратном комптоновском рассеянии излучения звезды на быстрых электронах, приходит к выводу о существовании в инфракрасной области спектра отрицательных вспышек, происходящих синхронно с оптическими вспышками. В случае очень сильных вспышек звезд классов M5-M6, Гурзадян (1973) предполагает отрицательную вспышку в ближней инфракрасной области спектра ( $\lambda \approx 8000 \text{ \AA}$ ).

С другой стороны, согласно механизму, предложенному Грининой (1976), в ближней инфракрасной области спектра могут наблюдаться отрицательные предвспышки, обусловленные увеличением непрозрачности атмосферы звезды при температурном возмущении ее поверхностных слоев. При этом отрицательные предвспышки долж-

ны предшествовать положительным вспышкам в инфракрасной области спектра, происходящим синхронно с оптическими вспышками.

Основная трудность при наблюдениях вспышек в инфракрасной области спектра — сочетание высокой скорости регистрации с достаточно высокой точностью фотометрии. Применение мультишельочного катода S 20 на инфракрасной границе спектральной чувствительности (около 8000 Å) имеет ряд преимуществ по сравнению с серебряно-кислородно-цезиевым фотокатодом, чувствительным к более длинноволновой области спектра — более высокий квантовый выход, низкий уровень шумов. Кроме того, использование ФЭУ с фотокатодом S 1 в режиме счета импульсов весьма проблематично, в то время как при синхронных наблюдениях вспышек в ультрафиолетовой и инфракрасной областях спектра желательно иметь единый метод регистрации фотонов.

*Наблюдения* проведены в Высокогорной Майданакской экспедиции с 5 августа по 16 сентября 1976 года. В основном, наблюдения велись на двух телескопах: 60-см рефлекторе Кассегрена Нейса и 40-см фотоэлектрическом рефлекторе ФР-408 (Исаков, 1975); кроме того, около 30% наблюдательного времени использовался параллельно третий телескоп, 48-см рефлектор. При наблюдениях патрульные наблюдения в фильтре U велись на 60-см рефлекторе. EV Lac в фильтре U наблюдалась также на 60-см рефлекторе, но несколько дат — только на 40-см рефлекторе.

Инфракрасные патрульные наблюдения велись в 2-х фильтрах — с интерференционным фильтром  $\lambda_{\text{эфф}} = 7100 \text{ Å}$  и с комбинацией светофильтров ФС7 + КС19, с максимумом кривой реакции системы фильтров  $\lambda_{\text{эфф}} = 8050 \text{ Å}$ . Красная граница чувствительности фотокатода ФЭУ-79 (S 20) сильно изменяется от экземпляра к экземпляру, от температуры и, по-видимому, от напряжения питания динодов. Поэтому максимум кривых реакций "фильтр + S 20" определить затруднительно, особенно для фильтра  $\lambda_{\text{эфф}} = 8050 \text{ Å}$ . Численно просуммировав кривые реакции фильтров с кривой чувствительности фотокатода S 20 при  $T = 20^\circ\text{C}$ , и учитя возможные ошибки, мы получили следующие ориентировочные значения максимумов кривых реакций систем:  $i_1 = 7100 \pm 20 \text{ Å}$ , полуширина  $100 \pm 10 \text{ Å}$ ,  $i_2 = 8050 \pm 110 \text{ Å}$ , полуширина  $350 \pm 100 \text{ Å}$ .

На рис. 1 приведены кривые распределения энергии в спектре двух звезд — карлика спектрального класса M5 V и гиганта M6III по данным Страйжса и Свидерскене (1972) (сплошная и штрих-пунктирная линии). Внизу приведены кривые реакций фотометрических систем по отношению к 100% пропускания фильтров. Подготавливая фильтры для наблюдений в И-К области спектра, мы стремились, кроме всего прочего, к тому, чтобы по эффективной длине волны и полуширинам пропускания фильтры соответствовали блендаам 7100 Å и 7900 Å. В первой блende основной вклад вно-

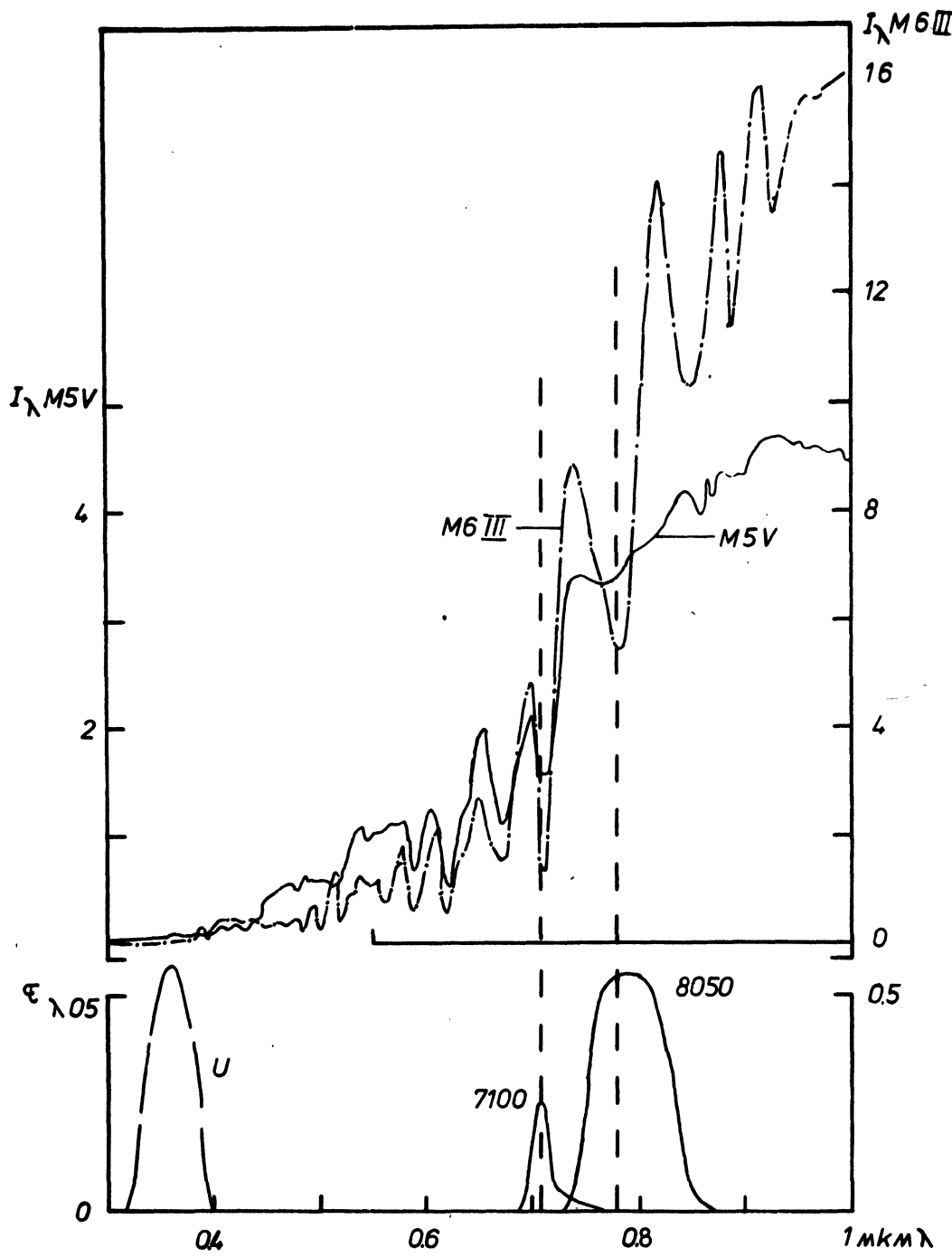


Рис.1. Криевые распределения энергии в спектре карлика M5 V и гиганта M6 III, и криевые реакции (ФЭУ + фильтры) фотометрических систем U,  $i_1$ ,  $i_2$ .

сит молекула окиси титана. В дальнейшем в настоящей работе для обозначения фотометрических систем употребляются значения максимумов кривых реакций системы фильтр + фотокатод  $\lambda_{\text{эфф}} = 7100$  и  $\lambda_{\text{эфф}} = 8050$ .

Синхронные наблюдения в фильтре  $\lambda_{\text{эфф}} = 8050$  велись всегда на 40-см рефлекторе. Если наблюдения велись синхронно на 3-х телескопах, то патрулирование звезд в фильтре  $\lambda_{\text{эфф}} = 7100$  осуществлялось на 48-см рефлекторе. При патрулировании на 2-х телескопах наблюдения велись, как правило, в фильтрах U и  $\lambda_{\text{эфф}} = 8050$ , но иногда в U и  $\lambda_{\text{эфф}} = 7100$ . Блеск в UBVR переменных по отношению к звездам сравнения и контрольным измерялся на электрофотометре 60-см рефлектора в начале и в конце каждого сеанса патрулирования. В то же время осуществлялась привязка к звездам-стандартам на других телескопах. На всех трех телескопах в качестве регистрирующей аппаратуры использованы аналогичные скоростные фотометры на счете импульсов, кратко описанные в работе Килиякова и Шевченко (1976). Вывод информации с фотометров 60-см и 40-см рефлекторов производился на цифропечатающее устройство, с фотометра 48-см рефлектора — на перфоратор. В приводимой ниже таблице 1 даны времена экспозиций для фотометров, установленных на телескопах, участвовавших в программе.

Таблица 1.

*Экспозиции при наблюдениях в разных фильтрах в сек.*

Звезда	U		$\lambda_{\text{эфф}} = 7100$		$\lambda_{\text{эфф}} = 8050$
	60 см	40 см	40 см	48 см	40 см
EV Lac	5	5	5	10	5
UV Cet	2	—	2	10	2

Наблюдения UV Cet велись в безлуноное время, EV Lac наблюдалась преимущественно в ночи с фазами Луны более 0.4.

Активность звезд в период наблюдений в среднем соответствовала данным других авторов (Гурзадян, 1973). Время патрулирования EV Lac составляет 100.3 часа. В фильтре U зарегистрирована 31 вспышка, причем распределение вспышек по амплитудам следующее:  $0^m4 < \Delta m_U < 0^m99 - 26$  вспышек,  $1^m0 < \Delta m_U < 1^m3 - 2$  вспышки и  $2^m0 < \Delta m_U < 2^m5 - 3$  вспышки. Вспышек с амплитудой  $\Delta m_U > 2^m5$  и вспышек с  $1^m3 < \Delta m_U < 2^m0$  не зарегистрировано. Средняя частота вспышек — около 1 вспышки за 3 часа патрулирования.

Время патрулирования UV Cet составило 28.5 часа. За это время зарегистрировано 89 вспышек, с амплитудой  $\Delta m_U > 0^m7$ . Гистограмма распределения вспышек по амплитудам  $\Delta m_U$  для UV Cet приведена на рис. 2. Более половины вспышек имеют амплитуды  $\Delta m_U$  в пределах от  $0^m7$  до  $1^m3$ , вспышек с амплитудой  $1^m3 - 1^m8$  в 2.5 раза меньше, в 10 раз меньше значений  $1^m8 - 2^m3$ ; в остальных интервалах до  $5^m3$  включительно, амплитуды распределены примерно равномерно.

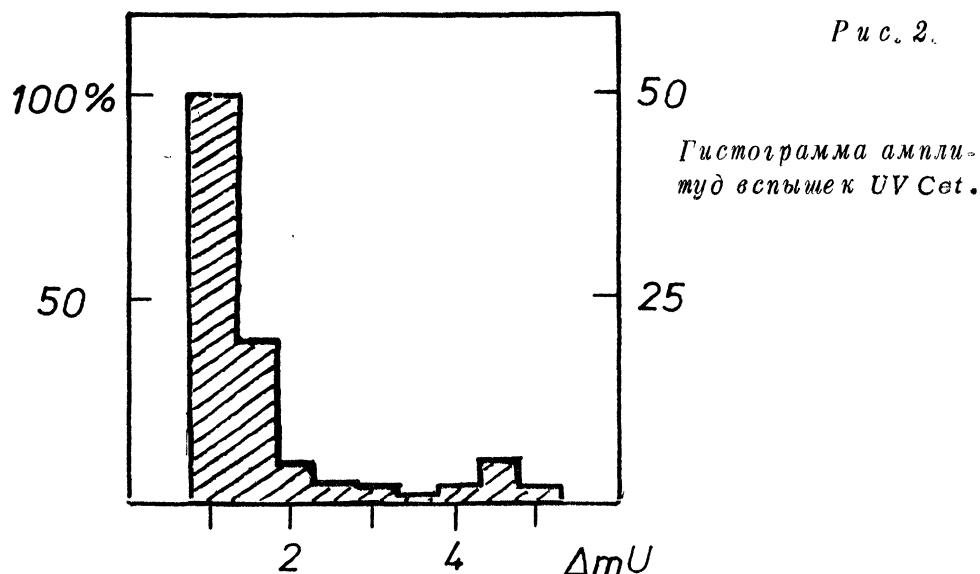


Рис. 2.

Гистограмма амплитуд вспышек UV Cet.

Средняя частота вспышек в фильтре U для UV Cet — 3 вспышки в час. При этом следует не забывать, что точность не позволяет регистрировать  $\Delta m_U < 0^m.7$ . На рисунках 3 и 4 результаты патрульных наблюдений в фильтре U для каждой из звезд представлены графически, а в таблицах 2 и 3 приводятся более полные данные о характеристиках вспышек в период патрульных наблюдений.

В таблицах, кроме времени начала и конца патрулирования в каждую из дат, приводятся момент максимума вспышки,  $\Delta T_1$  — время от начала подъема блеска до максимума,  $\Delta T_2$  — время от максимума до половины интенсивности по нисходящей части кривой блеска и  $\Delta T_3$  — время от момента максимума до уровня "спокойной" звезды, с учетом квантового шума детектора, а также амплитуда вспышки в фильтре U.

Анализ всего наблюдательного материала в фильтре U приводит к выводу, что активность звезд в период наблюдений находилась на обычном уровне.

*Амплитуды вспышек в инфракрасной области спектра.* В спокойном состоянии (в перерывах между вспышками) блеск вспыхивающей звезды в инфракрасной области спектра, как правило, не испытывает изменений. При среднем значении потока от UV Cet 1000 имп. за 2 сек, величина среднеквадратичной ошибки близка к уровню квантового шума и составляет 30 имп. за 2 сек. Чаще всего в перерывах между вспышками практически все значения потока от звезды в районе 7000–8000 А лежат в пределах  $1.5\sigma$ . Точно такой же вид имеет запись звезд сравнения и контрольных звезд. Однако незадолго до начала вспышки, в период изменения блеска ("подъем — убывание блеска"), а иногда и вскоре после прихода блеска звезды в U к своему

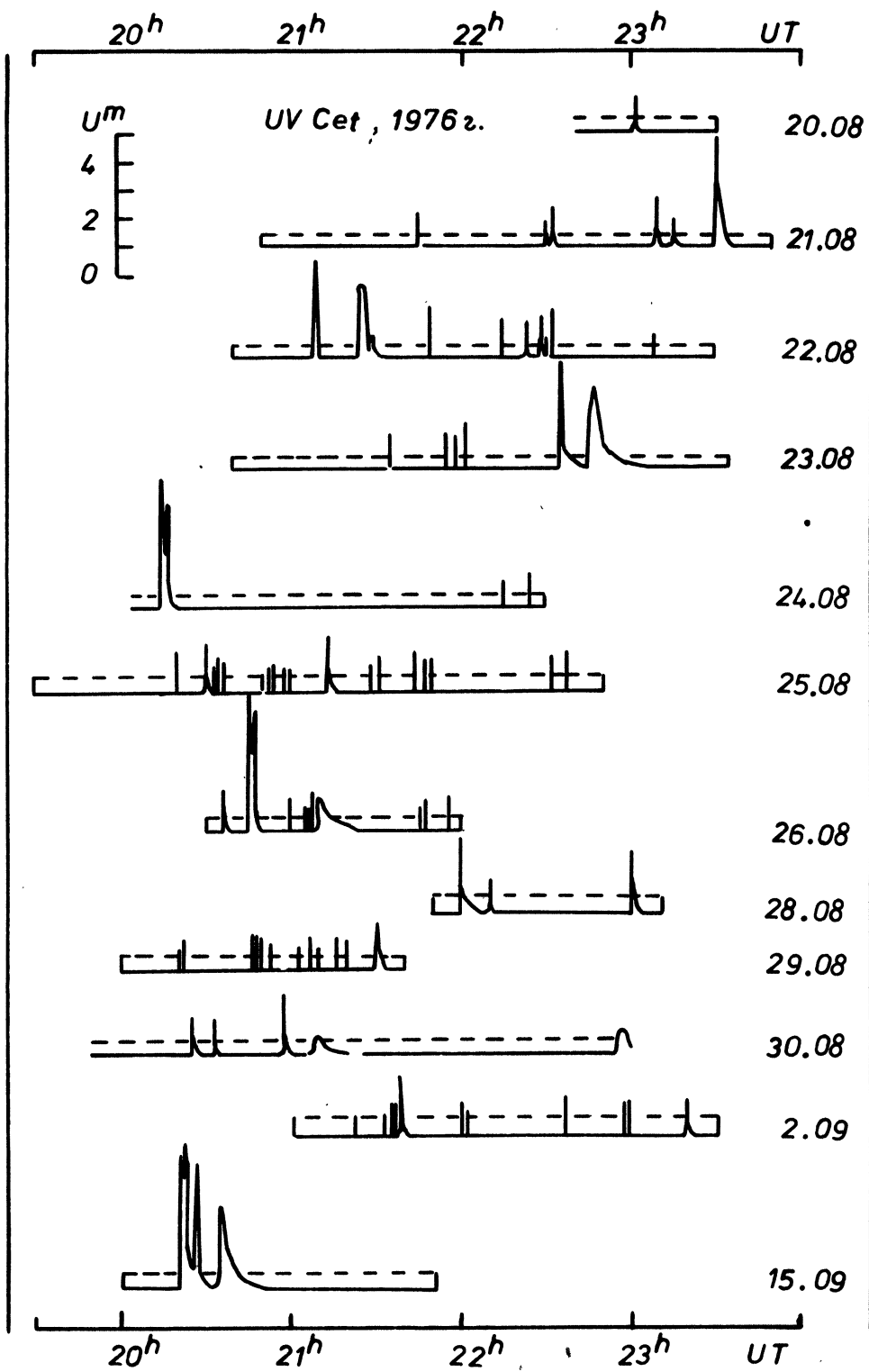


Рис. 3. Патрульные наблюдения UV Cet (штриховая линия — уровень).

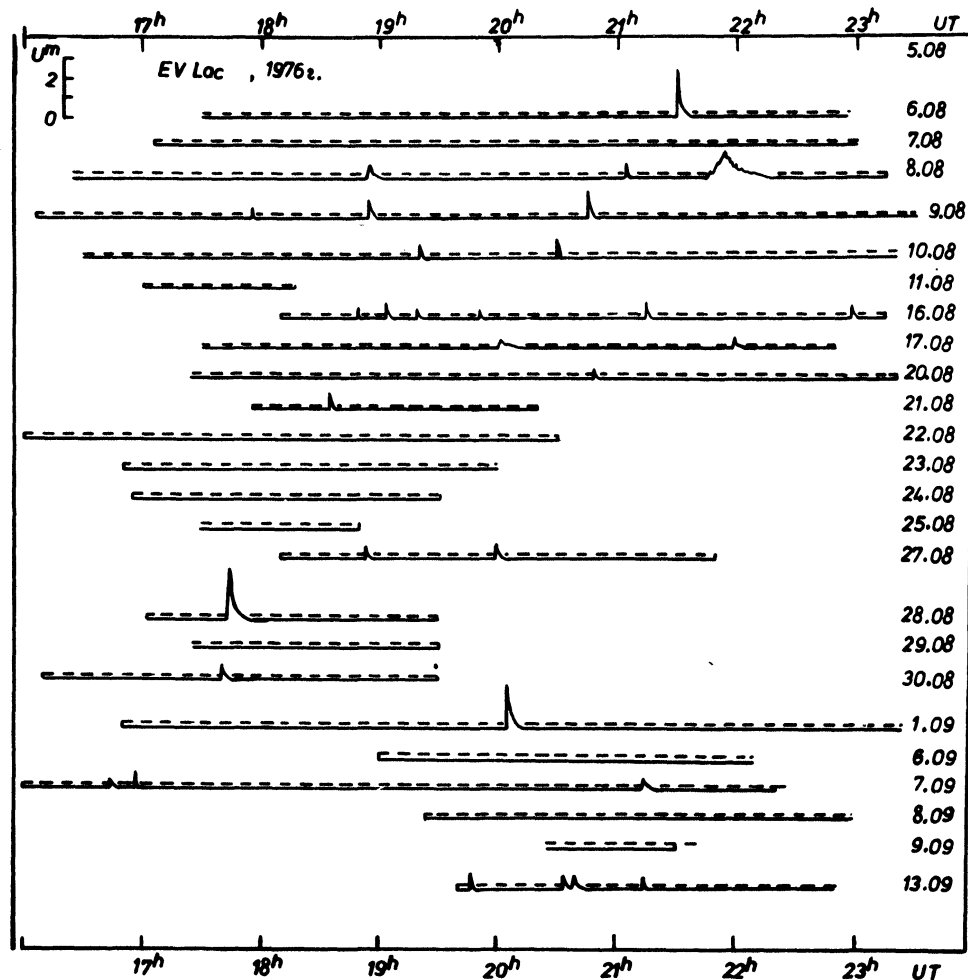


Рис.4. Патрульные наблюдения EV Lac (штриховая линия—уровень).

нормальному уровню, разброс значений потока в  $i_2$  увеличивается: дорожка квантового шума как бы "вспыхивает". Это явление отмечено практически при всех вспышках, даже самых слабых. Однако, иногда такое явление наблюдается в инфракрасном фильтре  $i_2$ , и в перерыве между вспышками у звезд UV Cet и EV Lac. Почти всегда в таких случаях можно подозревать наличие слабой вспышки в фильтре U, которую трудно выделить из квантового шума.

При сильных вспышках, регистрируемых в фильтре U, всегда уверенно регистрируется вспышка в фильтрах  $i_2$  и  $i_1$ . Взаимосвязь между значениями амплитуд вспышек в фильтре U и инфракрасной области спектра  $\lambda_{\text{эфф}} = 8050 \text{ \AA}$  ( $i_2$ ), построенная по 18 вспышкам, амплитуда которых в U превышает  $2^m0$ , представлена на рис. 5.

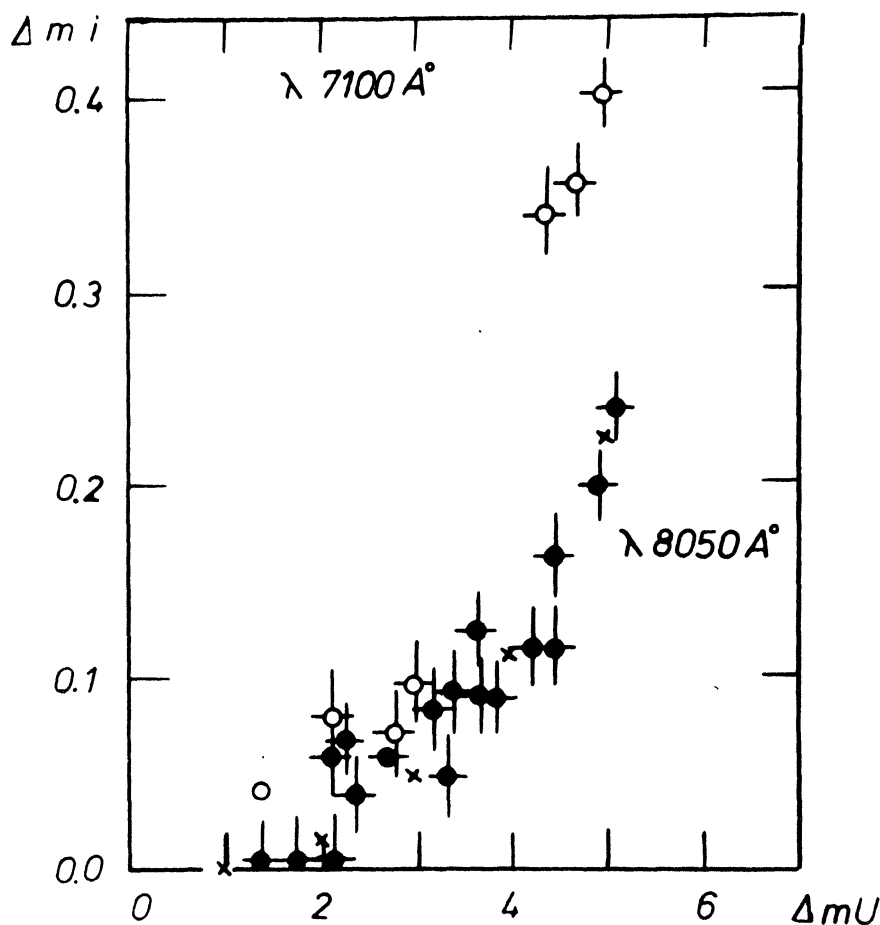


Рис.5. Зависимость амплитуды в инфракрасных фильтрах от амплитуды в фильтре  $U$ , косые крестики – интерпретация зависимости формулой  $\Delta m_i = 0.0018 (\Delta m_U)^3$ .

Максимальная зарегистрированная нами вспышка UV Cet имела амплитуду  $\Delta m_U = 5^m 12$ . Кункель(1968) зарегистрировал вспышку  $\Delta m_U = 6^m 0$ . Гурзадян (1973) рассчитал максимальную амплитуду вспышки для UV Cet –  $7^m$ .

Полные энергии вспышек (в эрг)  $E_U$  и  $E_{8050}$ , построенные по 18 вспышкам, амплитуда  $\Delta m_U$  которых превышает  $2^m 0$ , представлены на рис. 6а. Зависимость получена с использованием распределений энергии в спектрах вспыхивающих звезд UV Cet, EV Lac и других, любезно присланных Ч. Спинрадом в КрАО, и известных кривых реакций фотометрической системы. Видно, что между ними существует тесная связь, которую можно представить следующим выражением:

$$E_U = (2.1 \pm 0.4) E_{8050} . \quad (1)$$

Лишь у двух вспышек EV Lac амплитуда  $\Delta m_U$  превысила  $2^m0$ , поэтому мы не можем утверждать, что зависимость (1) универсальна для всех вспыхивающих звезд типа UV Cet.

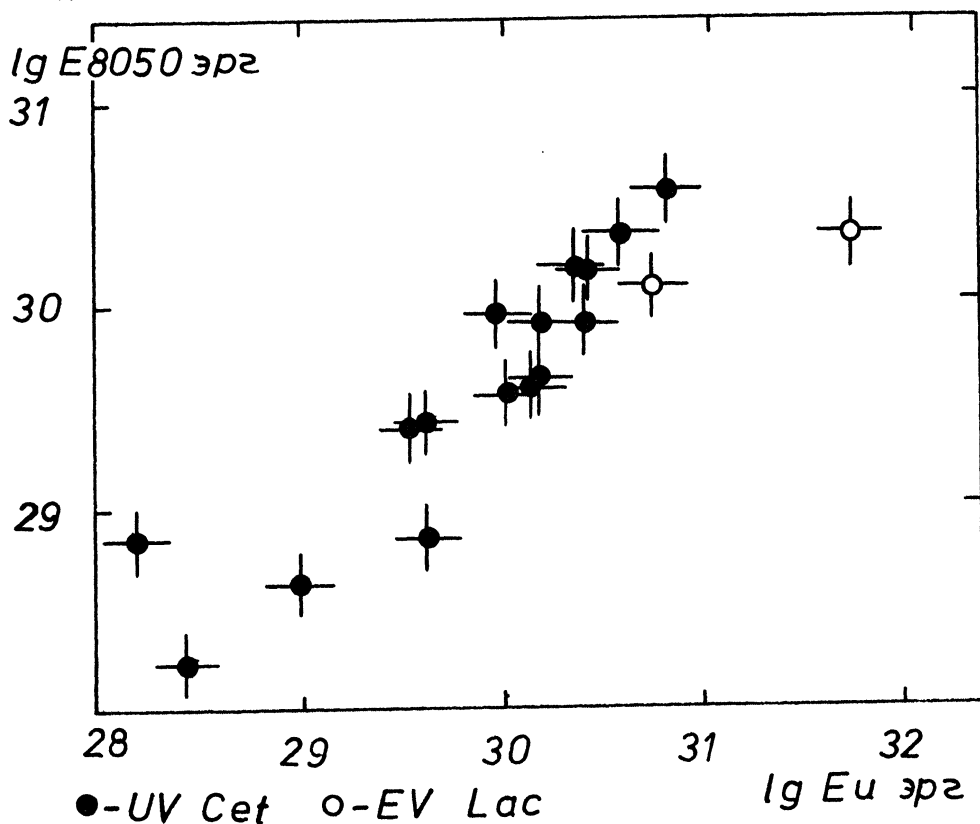


Рис. 5а. Взаимосвязь между полными энергиями вспышек в полосе U и в ближней инфракрасной области спектра.

**Предвспышечное ослабление блеска.** Гершберг (1977) отмечает, что существуют достоверные данные о нескольких случаях понижения блеска звезды ниже ее нормального уровня непосредственно перед вспышкой. По-видимому, при этом имеется в виду полоса U или B, где чаще всего ведутся патрульные наблюдения за вспышками. Мы могли бы дополнить число таких случаев иллюстрациями из Майданакского наблюдательного материала за август-сентябрь 1976 г.

Вспышка UV Cet 22.08.76 №2 относится к числу "медленных". Время от начала подъема до максимума блеска – 40 сек. Однако, на восходящей ветви видно еще 2 пика. Амплитуда первого из них –  $1^m75$ , а за минуту до этого пика началось предварительное ослабление блеска в фильтре U. Это ослабление блеска продолжалось около 20 сек, причем блеск UV Cet в U упал значительно (примерно на  $0^m5$ ). Мы могли бы отнести этот случай к числу ошибок наблюдений (например, уход звезды из диафрагмы, в связи с пропуском коррекций). Однако, как видно из наблюдений, коррекция проведена вовремя (за

2 минуты до случая ослабления) и минимум в U с точностью до 2 сек совпадает с минимумом в другом фильтре  $i_2$ , при синхронных наблюдениях на другом телескопе. Второй уверенный случай ослабления блеска в U перед вспышкой зафиксирован у EV Lac 9.08.76 г. - вспышка №2. За две минуты до максимума ( $\Delta m_{U=0.9}$ ) блеск звезды понизился на  $0^m 12 \pm 0^m 04$ . Это понижение блеска также было синхронным с понижением блеска в фильтре  $i_2$  и продолжалось около минуты.

В других случаях достоверность понижения блеска в фильтре U перед вспышкой низка (программа наблюдений не учитывала исследования этого явления) из-за высокого уровня квантовых шумов. Можно считать реальным предвспышечное ослабление блеска в фильтре U у EV Lac 21.08.76 г. в  $20^h 35^m$  UT перед небольшой ( $\Delta m_{U=0.5}$ ) очень быстрой (около 10 сек от начала до конца, подъем — около 2 сек) вспышкой.

Мы обращаем особое внимание на очень резкое и быстрое ослабление блеска в инфракрасной области спектра незадолго до подъема блеска в U и  $i$ .

Мы отметили 12 достоверных случаев ослабления блеска перед вспышкой у звезды UV Cet и 4 случая у EV Lac, в основном, в фильтре  $\lambda_{\text{эфф}} = 8050 \text{ \AA}$ . Сведения об этих явлениях собраны в таблице 4. По нашим наблюдениям ослабление блеска длится около 7–12 секунд, но в одном случае продолжалось 60 секунд и происходило непосредственно перед подъемом блеска. В таблице 4 приводится время  $\tau$  от начала ослабления блеска в  $i$  до максимума в U. В это время входит продолжительность ослабления блеска, продолжительность подъема блеска и перерыв между этими явлениями (если таковой имеется).

Средние характеристики по приведенным в таблице 16 случаям приведены на рис. 6. Однако этот рисунок не следует расценивать как осреднение результата с целью выделить явления на фоне ошибок. Предвспышечные ослабления различаются одно от другого довольно значительно. Иногда перед вспышкой уверенно выделяются 2 ослабления блеска, следующие одно за другим. Мы зарегистрировали 2 таких случая (см. таблицу 4).

Во всех отмеченных нами 16 случаях величина ослабления превышает значение среднеквадратичной ошибки наблюдений  $\sigma$  в 4–17 раз (в среднем в 8 раз), однако можно отметить случаи ослабления блеска на уровне  $2 \pm 3\sigma$ , которые утроили бы число вспышек с предвспышечным инфракрасным ослаблением блеска.

Возможно, "вспухание" инфракрасной дорожки квантового шума, отмеченное выше, есть результат чередующегося подъема и ослабления блеска в период многокомпонентных вспышек.

Необходимо отметить, что предвспышечное ослабление блеска не может быть результатом обратного Комpton-эффекта (Гурзадян, 1973), поскольку синхронно со вспышкой в U проходит все стадии развития и вспышка в инфракрасной области спектра.

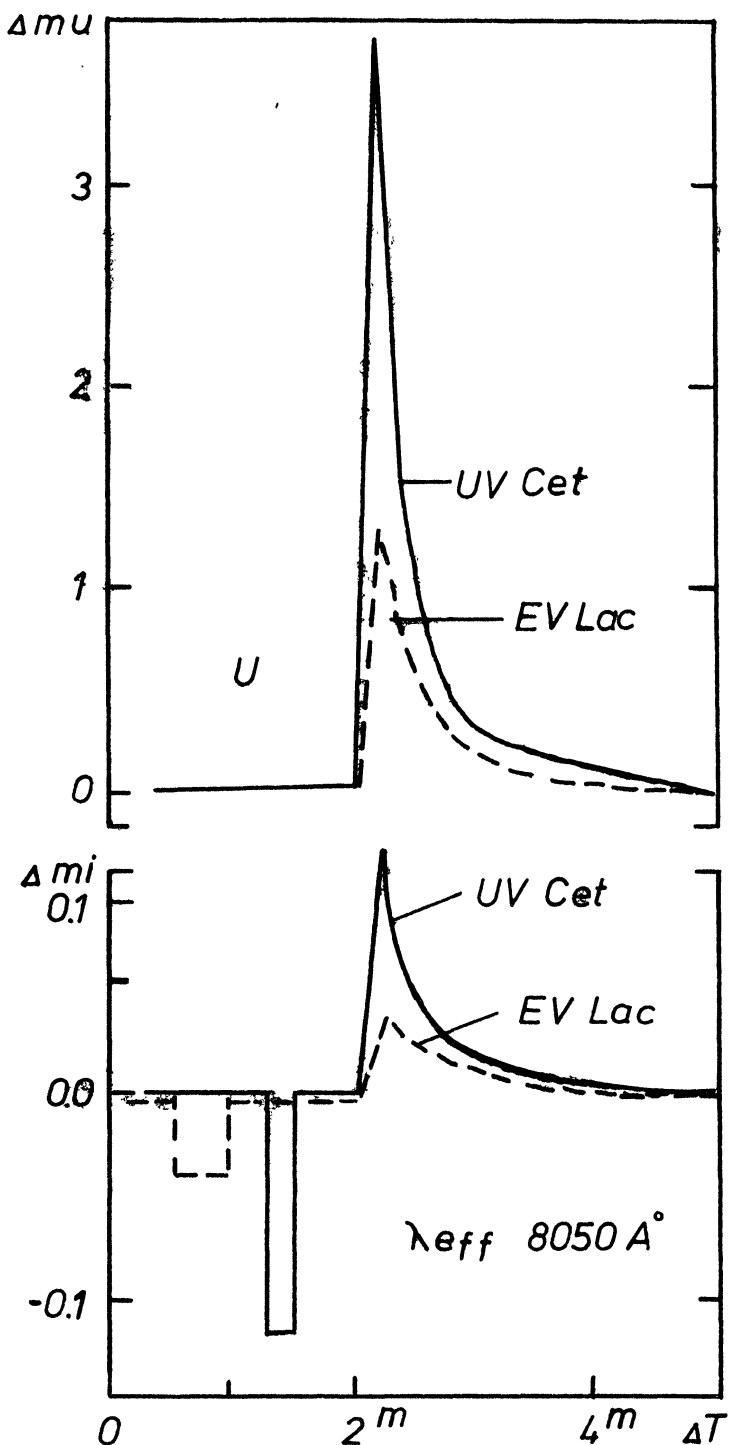


Рис. 6. Предвспышечное ослабление блеска и инфракрасная амплитуда вспышки, усредненные по данным таблицы 4.

В двух случаях ослабление блеска в  $i$  происходило синхронно с ослаблением блеска в  $U$ . Есть все основания полагать, что в остальных случаях ослабление блеска в  $U$  нами не отмечено исключительно из-за значительного квантового шума при 2-х секундном накоплении (для UV Кита, например, квантовый шум в фильтре  $U$  эквивалентен  $0^m.5 - 0^m.7$ ). Мы полагаем, что ослабление блеска можно объяснить в рамках расчетов Гринина (1976).

**Многокомпонентность вспышки.** Моффе (1972) полагает, что обычно регистрируемые кривые блеска вспышек не несут в себе физической информации, поскольку такая кривая представляет собой суперпозицию большого числа малых отдельных всплесков. Гершберг и Шаховская (1973) показали, что большинство отдельных всплесков обусловлено статистическими флуктуациями потоков малой интенсивности.

Тем не менее, мы считаем важным отметить, что многие продолжительные вспышки разрешаются на отдельные всплески, а в других случаях, когда амплитуда вспышек ненамного превышает статистические флуктуации, более правдоподобной кажется все же трактовка Моффе т.а. Из 32 иллюстраций, приведенных ниже, помимо отдельно зарегистрированных парных и кратных вспышек (как правило, такие вспышки хорошо разрешаются при их большой интенсивности, когда статистика квантов велика), мы могли бы с уверенностью отнести к многокомпонентным 26, т.е. 78%. Продолжительность отдельных всплесков меняется от 2 до 15-20 секунд (в среднем около 10 сек) и, по-видимому, зависит от амплитуды.

Следует отметить, что фильтры  $U$  и  $V$  не оптимальны для исследования этого явления, первый из-за малого пропускания, второй из-за увеличивающегося вклада общего излучения фотосферы звезды. Разумнее для таких наблюдений использовать фильтр, имеющий большое пропускание в ультрафиолете и захватывающий синее крыло фильтра  $V$ .

**Кривые блеска некоторых вспышек UV Cet и EV Lac** приведены на рис.7-38, и иллюстрируют все отмеченные выше явления. Далее приведены комментарии к некоторым кривым блеска UV Cet (в таблицах 2 и 3 вспышки с иллюстрацией отмечены звездочкой).

**Рис. 7.** Вспышка зарегистрирована в фильтре  $V$ , в подготовительном сеансе наблюдений, состоит минимум из 6 компонент, 3 из них отмечены, как отдельные.

**Рис. 8.** Типичный случай "средней" вспышки UV Cet небольшой амплитуды. В фильтре  $\lambda_{\text{эфф}} = 8050$  отмечено ослабление блеска (этот случай не вошел в табл.2).

**Рис.9.** Вспышка большой амплитуды. Очень резкое предвспышечное ослабление блеска в фильтре  $i_2$ , уверенно зарегистрирована вспышка в  $i_2$ .

**Рис.10.** Быстрая вспышка большой амплитуды, в фильтре  $\lambda_{\text{эфф}} = 8050$  заметны ослабление блеска и вспышка.

**Рис.11.** Предвспышечное ослабление блеска в фильтрах U и  $i_2$ . Выделяется 8 компонентов – отдельных всплесков. В и-к области спектра во время вспышки увеличена дисперсия (до  $3\sigma$ ).

**Рис. 12.** Двугорбая вспышка с одной или несколькими "предвспышками" на уровне  $3 \div 4\sigma$ . В фильтре  $\lambda_{\text{эфф}} = 8050$  дисперсия возросла до  $2\sigma$  в период "предвспышек", видно ослабление блеска непосредственно перед вспышкой; различается амплитуда в инфракрасном фильтре.

**Рис. 13.** Очень продолжительная вспышка умеренной амплитуды. Скорей всего, состоит из множества отдельных всплесков, поведение в фильтре  $i$  сходно со вспышкой № 22.08.76 (рис. 11).

**Рис. 14.** Ослабление блеска в и-к фильтре перед вспышкой большой амплитуды. В фильтре  $\lambda_{\text{эфф}} = 8050$  Å уверенно зарегистрированы все три всплеска.

**Рис. 15.** Два или три слабых всплеска.

**Рис.16.** Двугорбая вспышка очень большой амплитуды. Кривая блеска в фильтре  $\lambda_{\text{эфф}} = 7100$  повторяет с меньшей амплитудой кривую в фильтре U, за исключением предвспышечного ослабления блеска.

**Рис.17.** Длительная многокомпонентная вспышка.

**Рис.18.** В фильтре  $\lambda_{\text{эфф}} = 8050$  Å перед первым всплеском в U отмечено 2 ослабления блеска; дисперсия в  $i_2$  составляет  $2 \div 2.5\sigma$ .

**Рис.19.** 3 или 4 отдельных всплеска длительностью 8–20 сек. каждый.

**Рис.20.** Парная вспышка со значительным ослаблением блеска в  $i_2$ . Помимо 4–5 секундного ослабления, в фильтре  $\lambda_{\text{эфф}} = 8050$  отмечаются волнобразные колебания с амплитудой  $0^m03 \div 0^m05$ .

**Рис. 21.** Две группы вспышек большой мощности. В фильтре  $\lambda_{\text{эфф}} = 8050$  из-за большого времени накопления (5 сек) точность каждого измерения высока ( $\pm 0^m017$ ). Наблюдается сложная кривая блеска, в основном, повторяющая кривую блеска в фильтре U.

**Рис.22.** В фильтре U максимум вспышки не зарегистрирован (произошла коррекция, измерение фона и звезды сравнения). По амплитудам в инфракрасных фильтрах вспышка в U составляла  $4^m \div 4^m5$ . В фильтре  $\lambda_{\text{эфф}} = 7100$  коррекция и измерение фона и контрольных звезд продолжалось 3 мин. 45 сек. в период падения блеска.

В таблицах 5÷8 приведены результаты синхронных наблюдений 6 наиболее мощных вспышек UV Cet. Все данные скопированы непосредственно с ленты ЦПУ или с распечатки с ЭВМ (для  $\lambda_{\text{эфф}} = 7100$  Å) и представляют собой число импульсов.

Кривые блеска на рисунках и в таблицах читатель может легко проанализировать с точки зрения ошибок наблюдений, поскольку величина ошибки  $\sigma \approx \sqrt{n}$ , где  $n$  – число зарегистрированных импульсов.

Далее прокомментированы кривые блеска EV Lac.

**Рис.23.** Мощная вспышка продолжительностью около минуты. Вслед за ней, возможно, последовала вторая вспышка. Перерывы в кривой блеска – коррекция, измерения фона и звезд сравнения.

**Рис.24.** Вспышка небольшой амплитуды продолжительностью около 10 мин, дисперсия в U увеличена в 1.5–2 раза; можно отметить "предвспышку" в момент  $18^h 49^m$  UT. Синхронно наблюдалась в трех фильтрах. Понижение блеска в момент  $18^h 49^m$  UT в фильтре  $\lambda_{\text{эфф}} = 8050$  – результат ошибки гидрования (звезда подошла к краю диафрагмы). Сильное продолжительное ослабление блеска отмечено в фильтре  $\lambda_{\text{эфф}} = 8050$ , поведение довольно сложное. Подъем блеска в фильтре  $\lambda_{\text{эфф}} = 7100$  происходит в период ослабления в фильтре  $\lambda_{\text{эфф}} = 8050$ . Ослабление  $18^h 55^m \div 18^h 57^m$  реально. В период  $18^h 47^m 40^s \div 18^h 51^m$  производилась коррекция.

**Рис.25.** Вспышка наблюдалась синхронно в трех фильтрах. Внечередная коррекция на телескопе 40 см (фильтр  $\lambda_{\text{эфф}} = 8050$ ) вызвана продолжительным ослаблением блеска, которое наблюдатель принял за уход звезды из диафрагмы. Ослабление блеска в фильтре  $\lambda_{\text{эфф}} = 7100$  после серии вспышек реально.

**Рис.26.** Вспышка с двумя всплесками. В фильтре  $\lambda_{\text{эфф}} = 8050$  амплитуда  $i_2 = 0^m 03$ . Предвспышечное ослабление блеска в  $\lambda_{\text{эфф}} = 7100$  сомнительно (перед коррекцией).

**Рис.27.** Парная вспышка, зарегистрирована синхронно в трех фильтрах. В момент вспышки дисперсия в  $i_2$  возросла до  $4\sigma$ . В фильтре  $\lambda_{\text{эфф}} = 7100$  наблюдается повышение блеска после вспышки.

**Рис.28.** Серия коротких вспышек. Дисперсия в инфракрасных фильтрах возросла до  $3\sigma$ . Поведение звезды в фильтре  $\lambda_{\text{эфф}} = 8050$  в момент  $20^h 28^m 50^s \pm 30^s$  можно интерпретировать как предвспышечное ослабление блеска.

**Рис.29.** По-видимому, многокомпонентная вспышка небольшой амплитуды. Дисперсия в  $i_2$  увеличена ( $1.5 \div 2\sigma$ ).

**Рис.30.** Вспышка, возможно, состоит из 5–6 всплесков продолжительностью 20–30 сек. каждый. Дисперсия в  $i_2$  увеличена ( $2 \div 3\sigma$ ).

**Рис.31, 32.** То же, что и рис.30.

**Рис.33.** Вспышка умеренной амплитуды, зафиксировано двукратное ослабление блеска в фильтре  $\lambda_{\text{эфф}} = 8050$ .

**Рис.34.** То же, что и рис.30.

**Рис.35.** Небольшая вспышка в U на фоне общего понижения блеска в среднем на  $0^m 2$ . Дисперсия в  $\lambda_{\text{эфф}} = 8050$   $1.5\sigma$ .

**Рис.36.** Начало вспышки пришлось на момент коррекции, уверенно разрешается кривая блеска в фильтре  $\lambda_{\text{эфф}} = 8050$ .

**Рис.37.** Многокомпонентная вспышка с сильным предвспышечным ослаблением блеска и подъемом в момент максимума в инфракрасном фильтре  $i_2$ .

**Рис.38.** Сложная вспышка средней мощности. В инфракрасных фильтрах дисперсия возросла до  $2 \div 3\sigma$ .

**Заключение:** Результаты синхронных фотоэлектрических наблюдений вспышек звезд типа UV Cet в полосе U и в ближней инфракрасной области спектра показывают наличие в ближней инфракрасной области спектра положительных вспышек, происходящих синхронно с оптическими вспышками в фильтре U.

Вместе с тем, часть зарегистрированных вспышек имела предвспышечные ослабления блеска в ближней инфракрасной области спектра (рис.6). Кроме расчетов Гринина (1976), нам неизвестны теории, предсказывающие подобные наблюдаемые явления.

Авторы глубоко признательны Р.Е.Гершбергу и В.П.Гринину за постоянный интерес к работе, ценные консультации и полезную дискуссию.

Авторы выражают также благодарность сотрудникам АИ АН УзССР М.Г.Нурмухamedову и А.И.Железняковой за помощь в наблюдениях на Майданаке, а А.И.Железняковой также за большую помощь при подготовке иллюстративного материала.

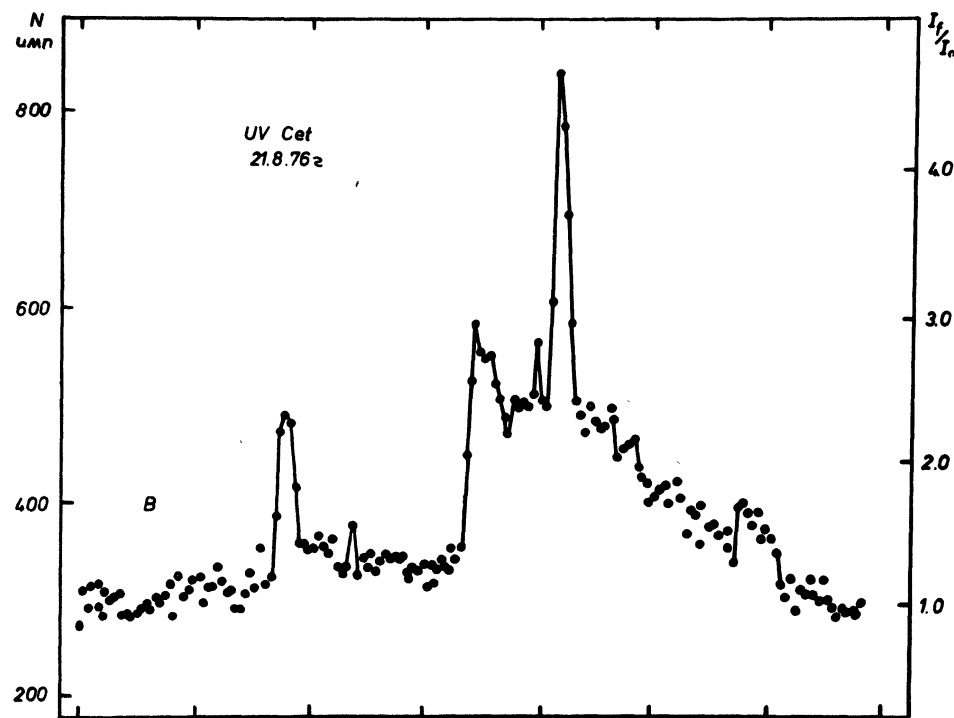


Рис. 7. Вспышки UV Cet 21.08.76 № 2, 3, 4.

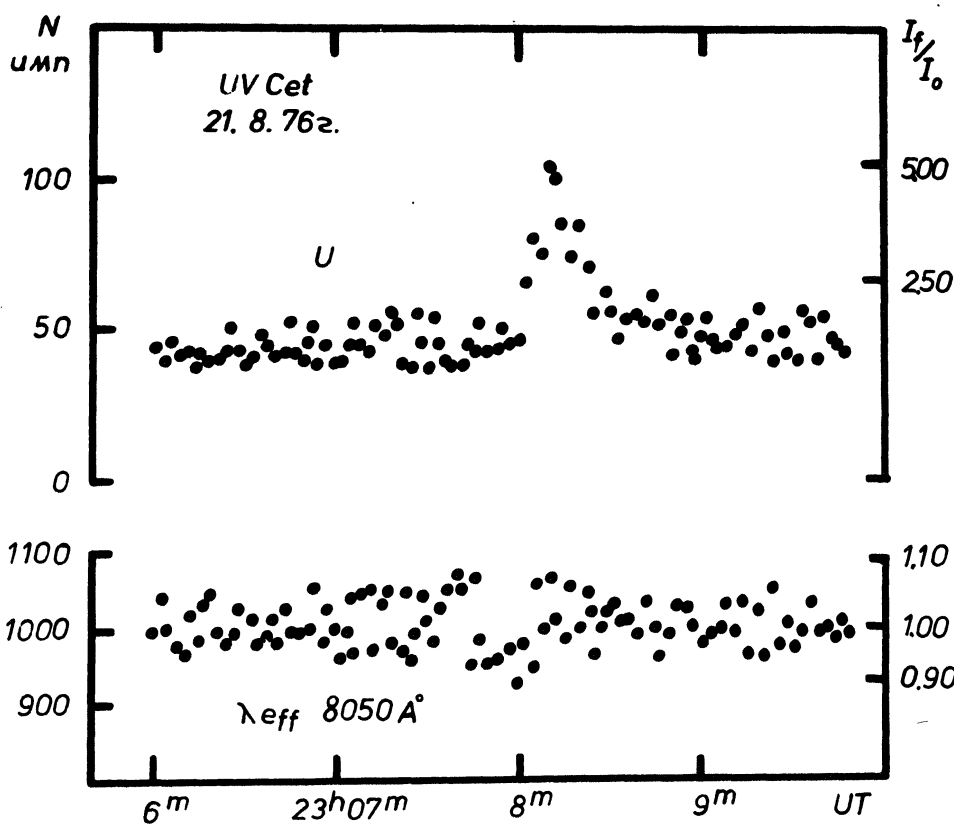
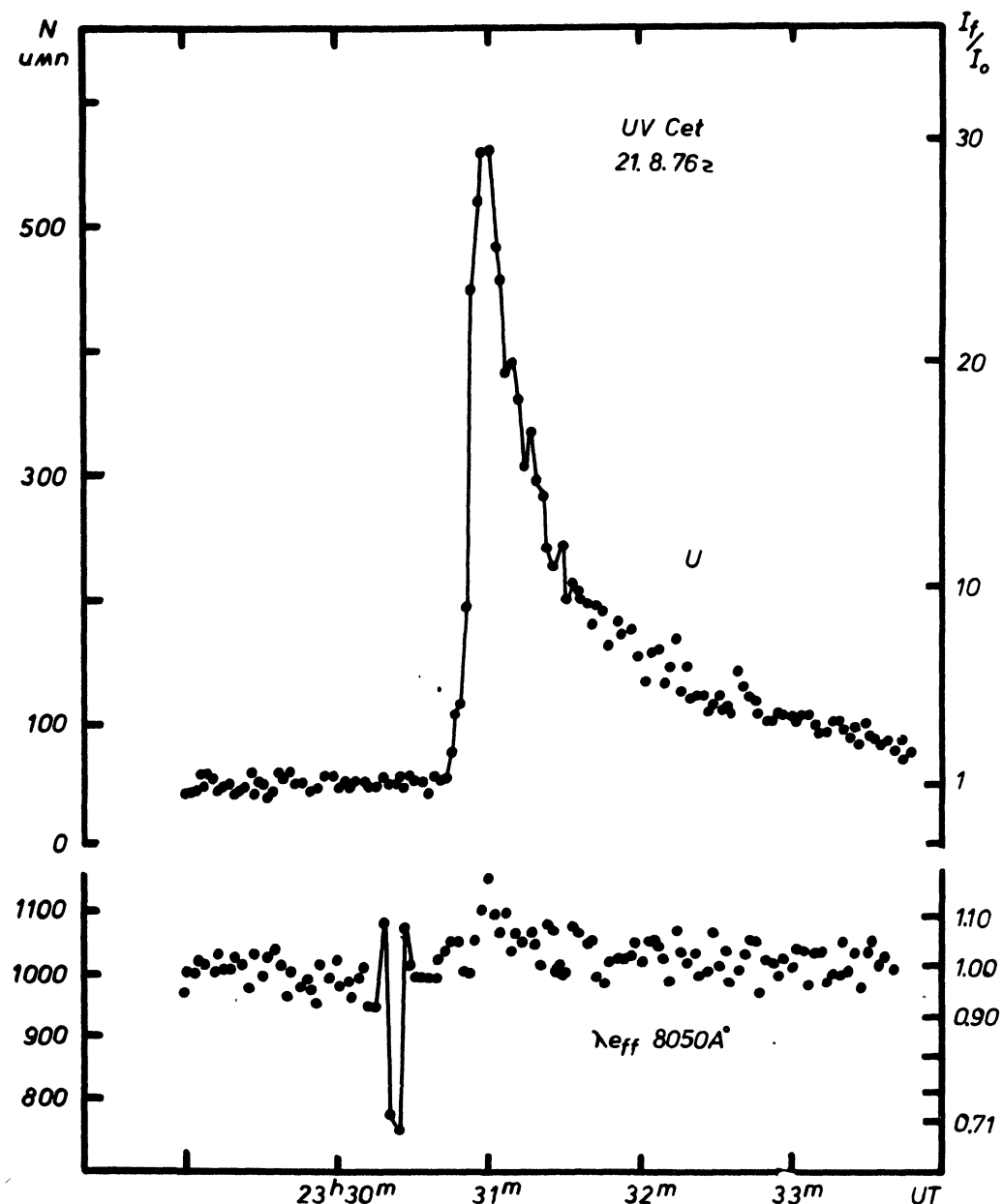


Рис. 8. Вспышка UV Cet 21.08.76 № 5.



*Рис. 9. Вспышка UV Cet 21.08.76 № 7.*

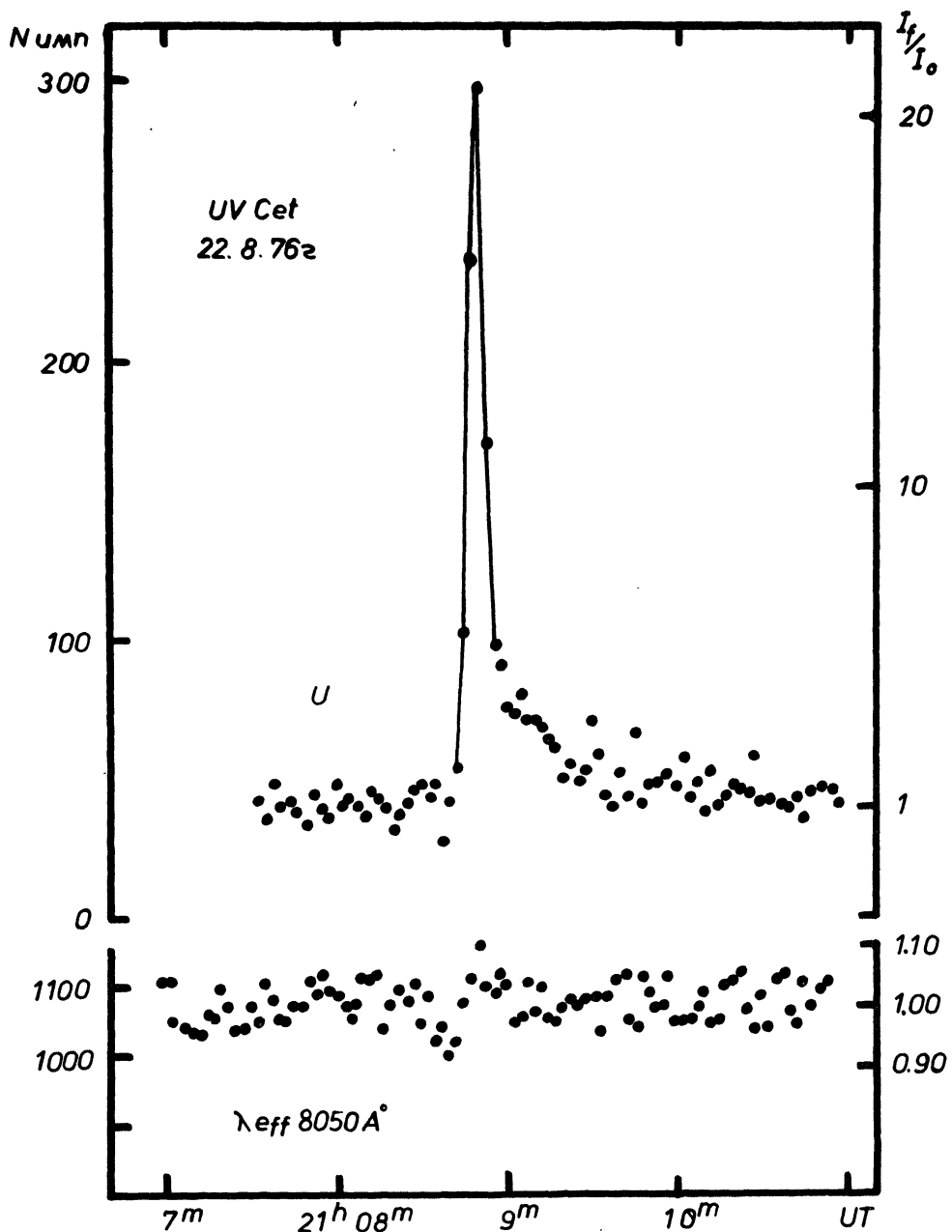


Рис. 10. Вспышка UV Cet 22.08.76 № 1.

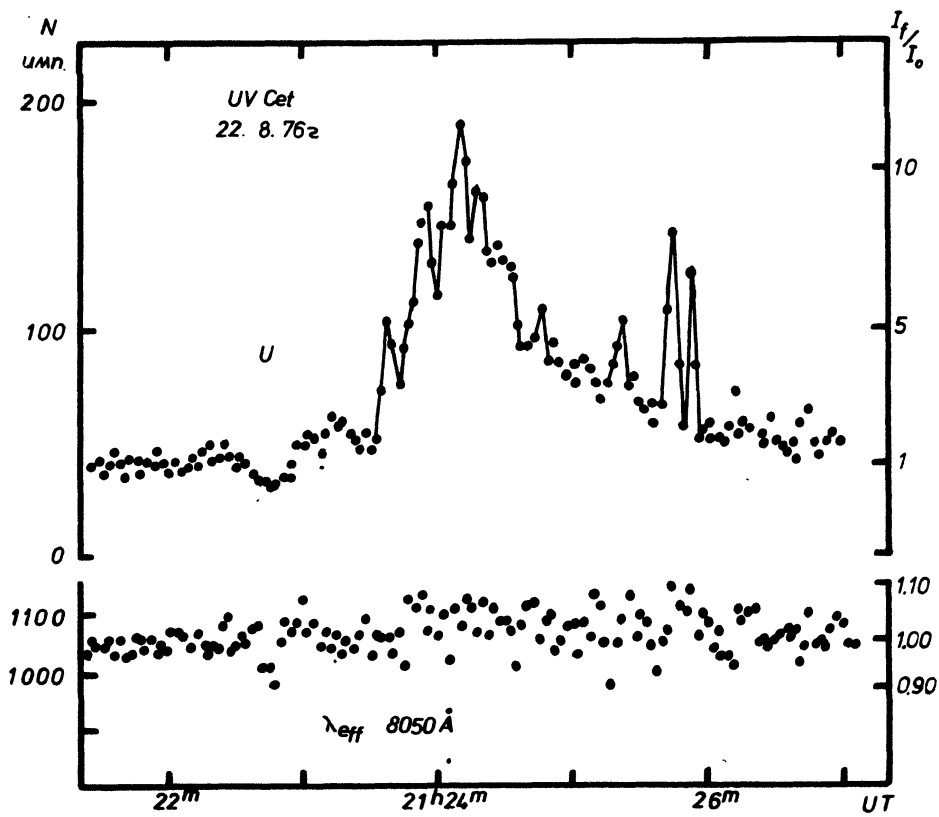


Рис. 11. Вспышка UV Cet 22.08.76 № 2.

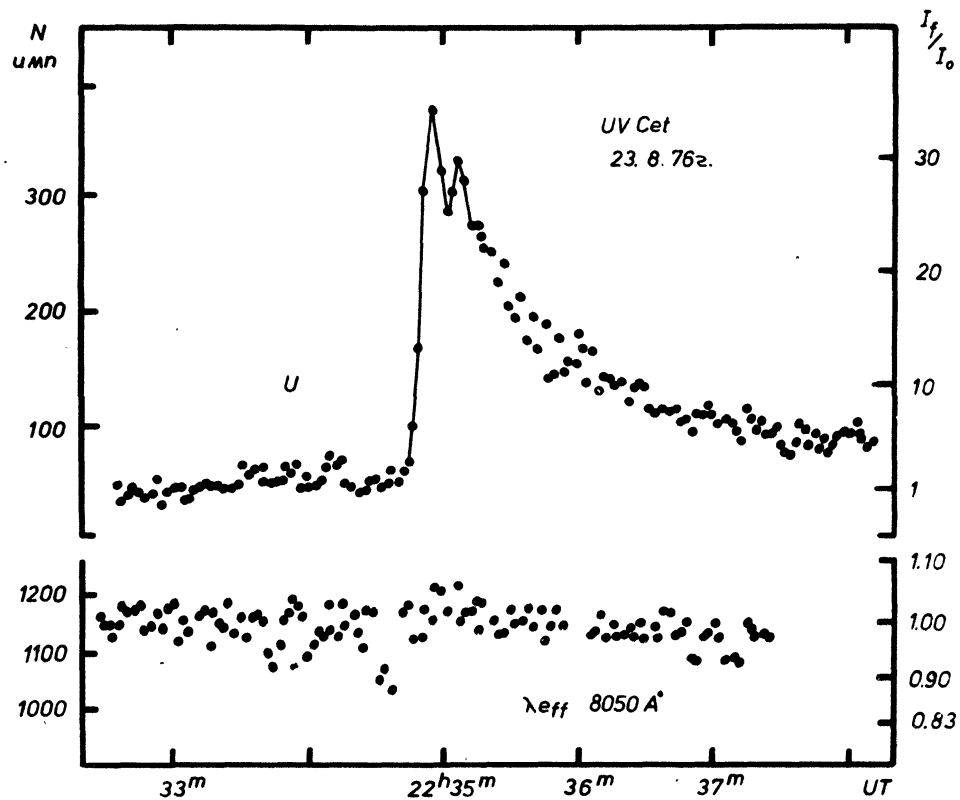
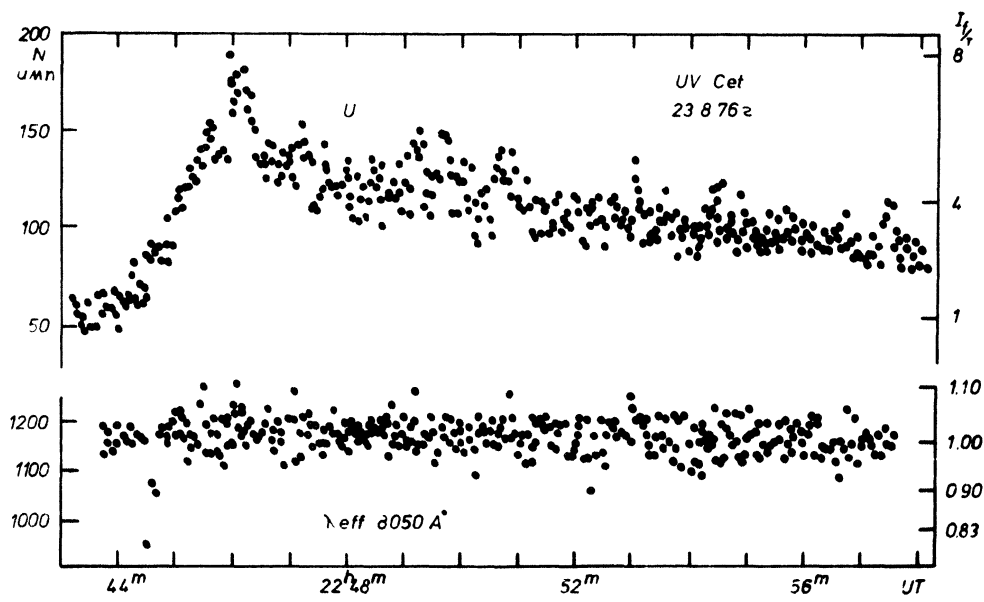
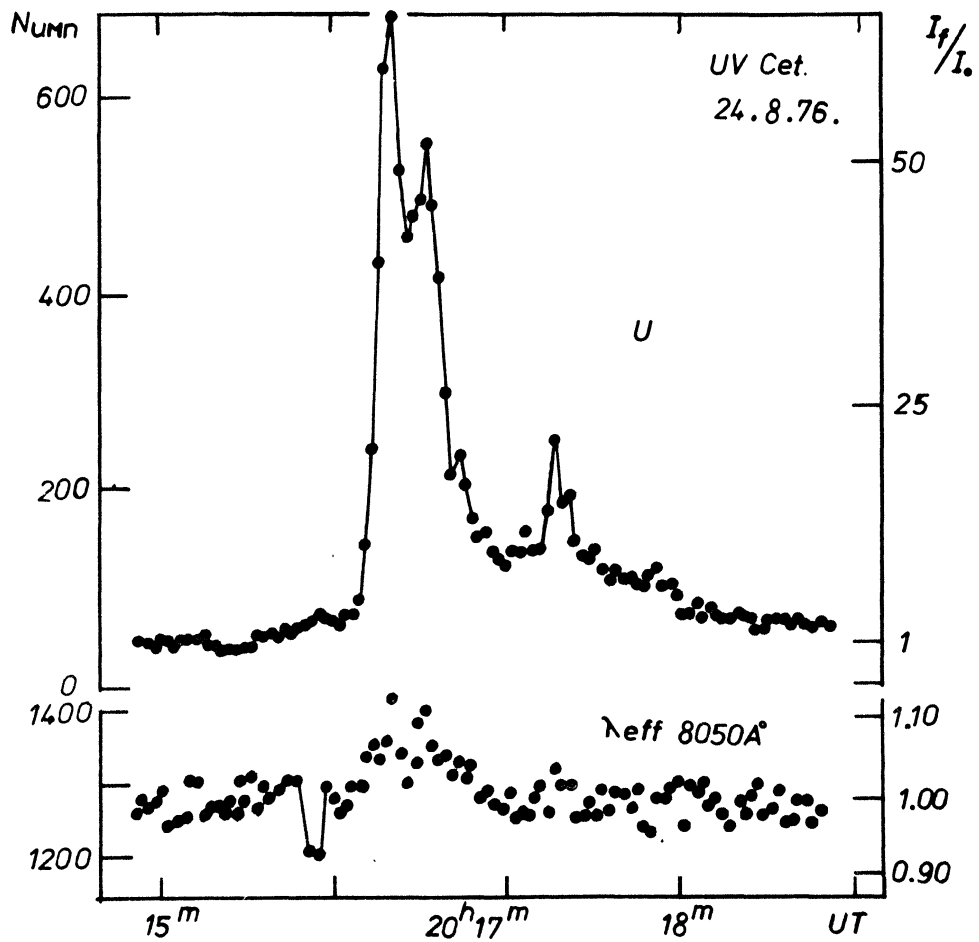


Рис. 12. Вспышка UV Cet 23.08.76 № 5.



P u c. 13. Вспышка UV Cet 23.08.76 № 6.



P u c. 14. Вспышки UV Cet 24.08.76 № 1, 2.

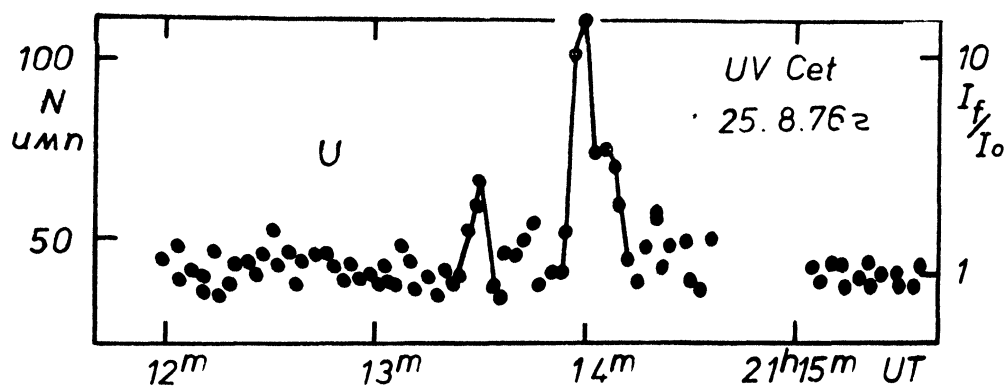


Рис. 15. Вспышка UV Cet 25.08.76 № 10.

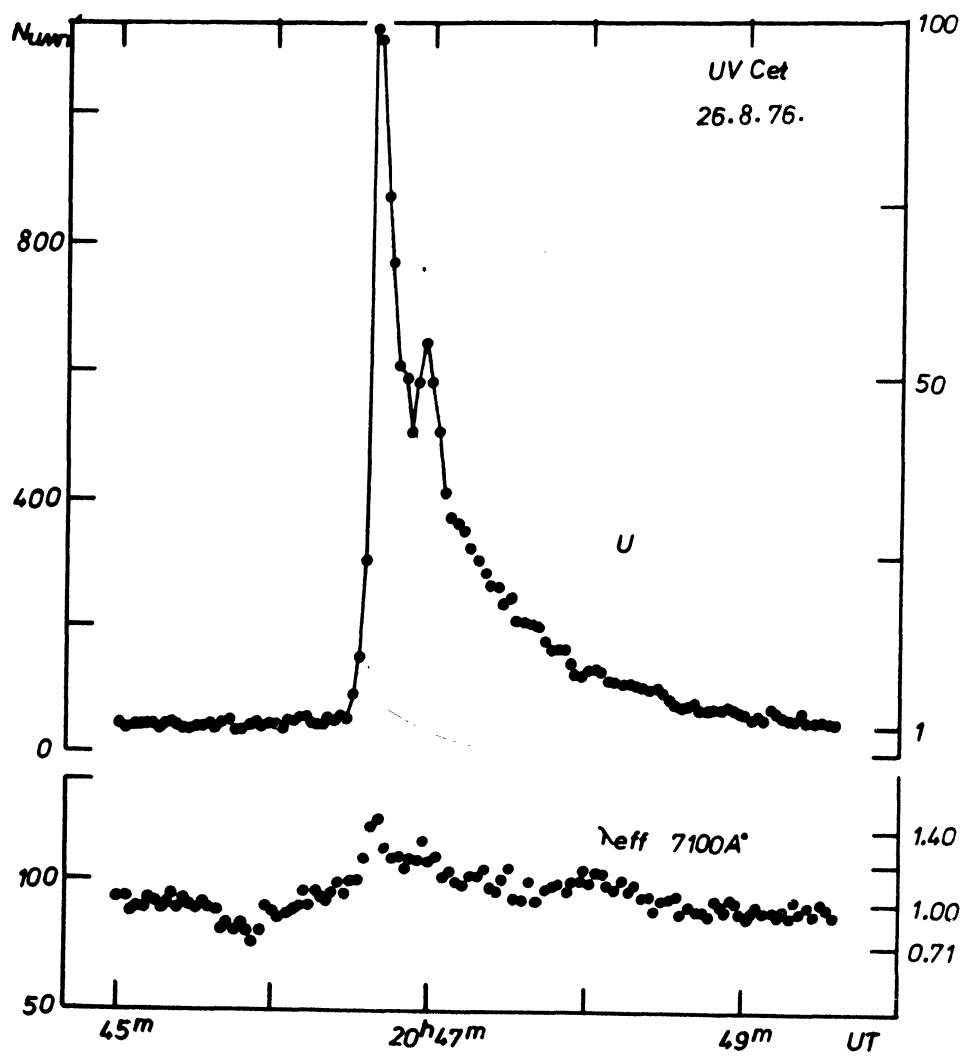


Рис. 16. Вспышки UV Cet 26.08.76 № 2, 3.

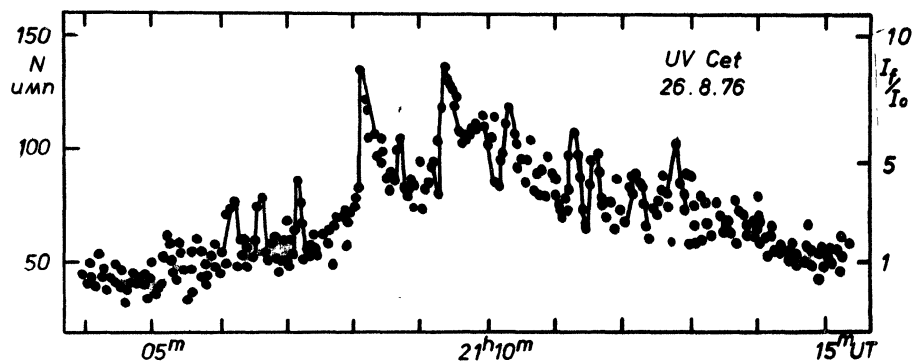


Рис. 17. Вспышки UV Cet 26.08.76 № 5,6.

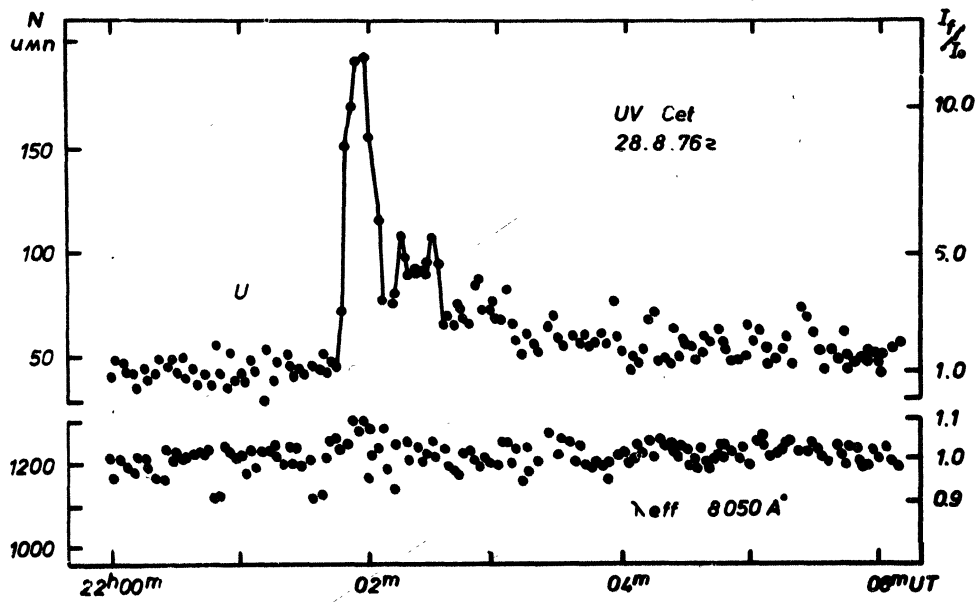


Рис. 18. Вспышка UV Cet 28.08.76 № 1.

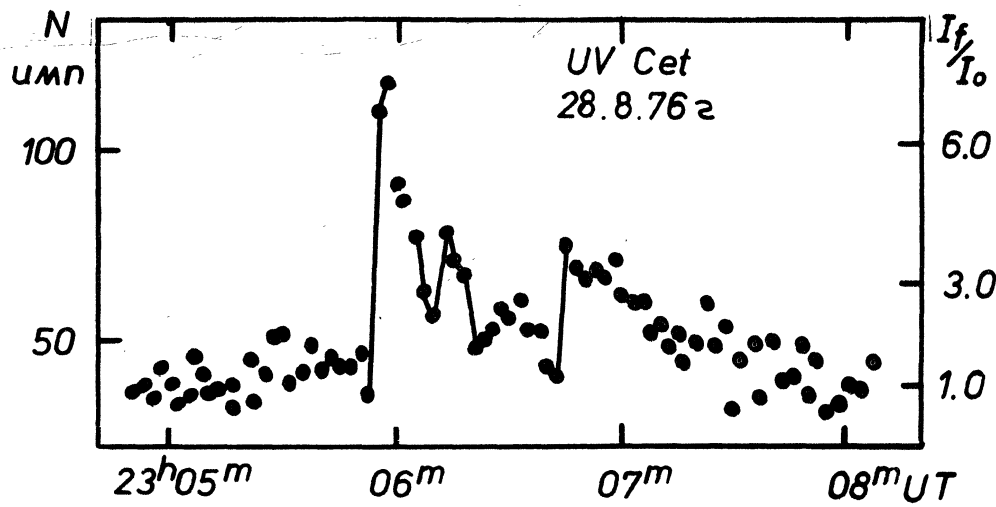


Рис. 19. Вспышка UV Cet 28.08.76 № 3.

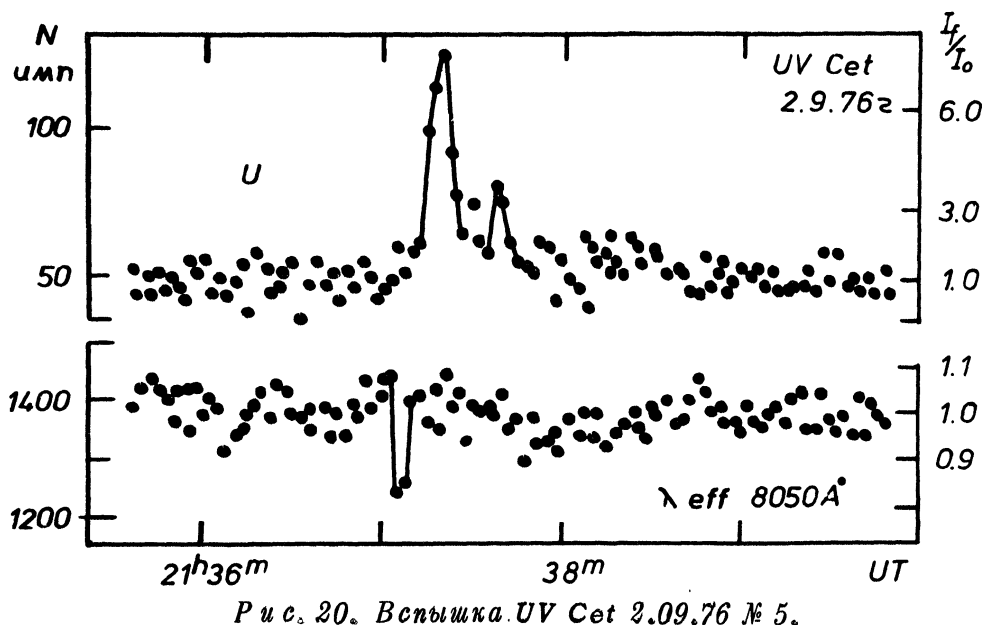


Рис. 20. Вспышка UV Cet 2.09.76 № 5.

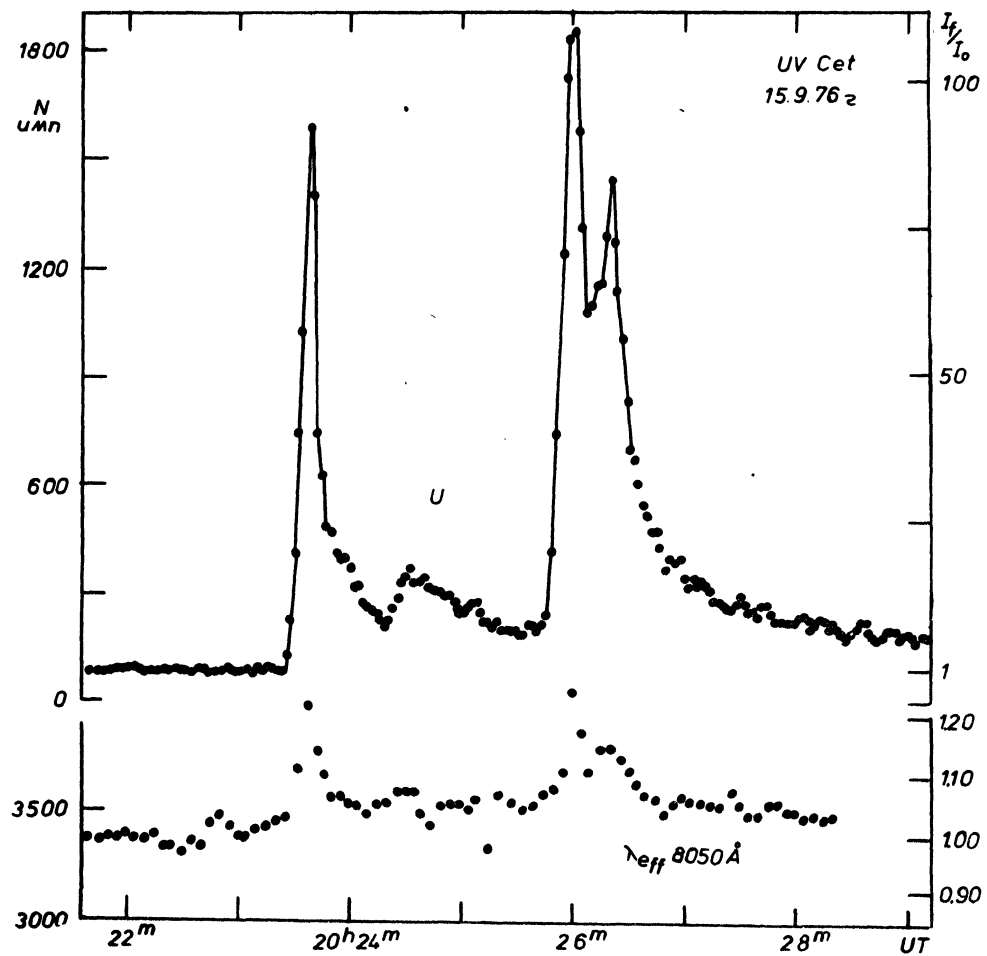
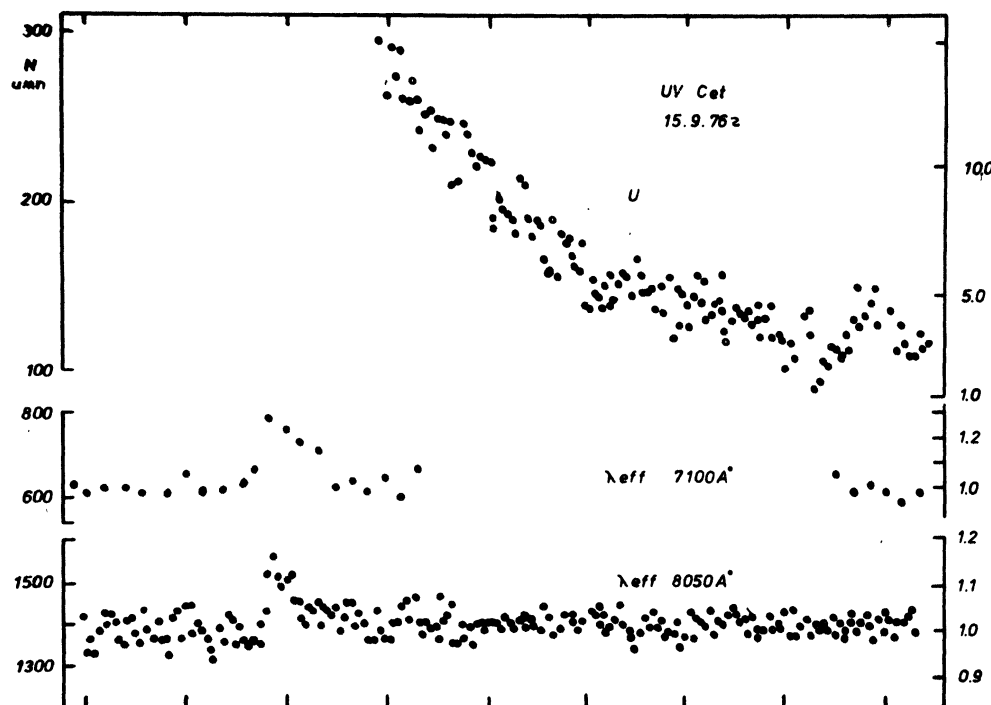
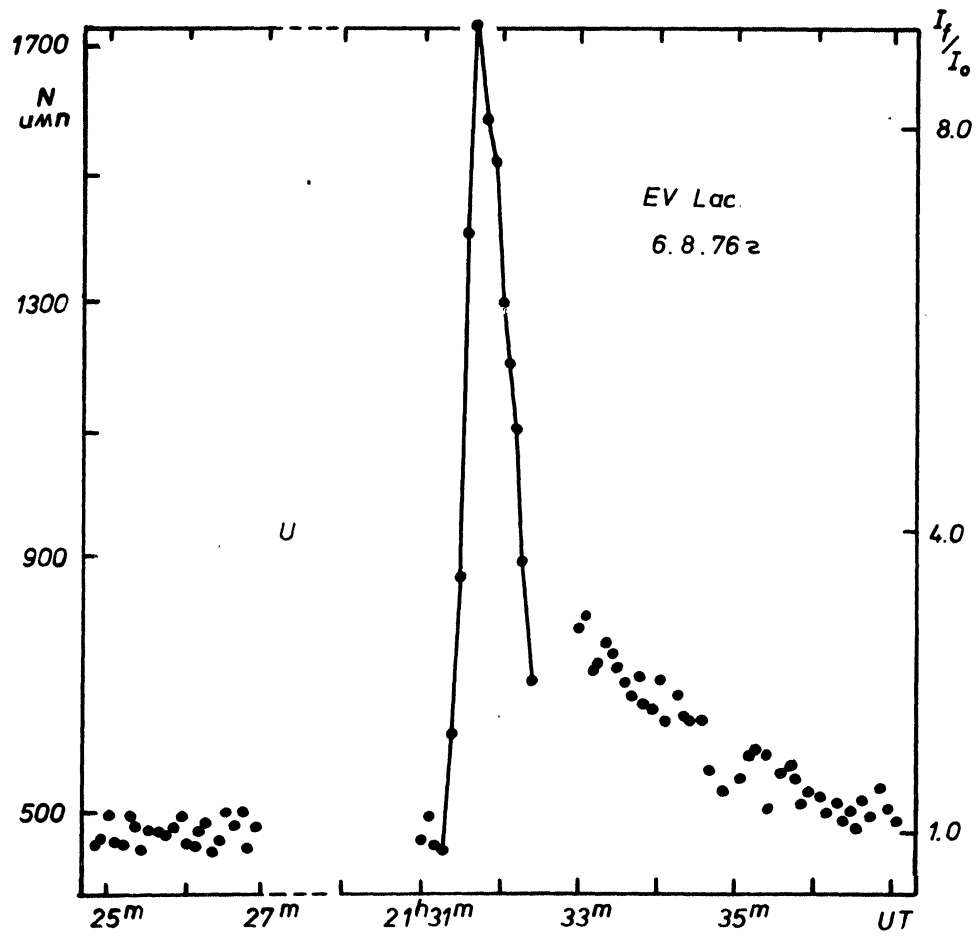


Рис. 21. Вспышки UV Cet 15.09.76 № 1, 2, 3.



Puc. 22. Вспышка UV Cet 15.09.76 № 4.



Puc. 23. Вспышка EV Lac 6.08.76 № 1.

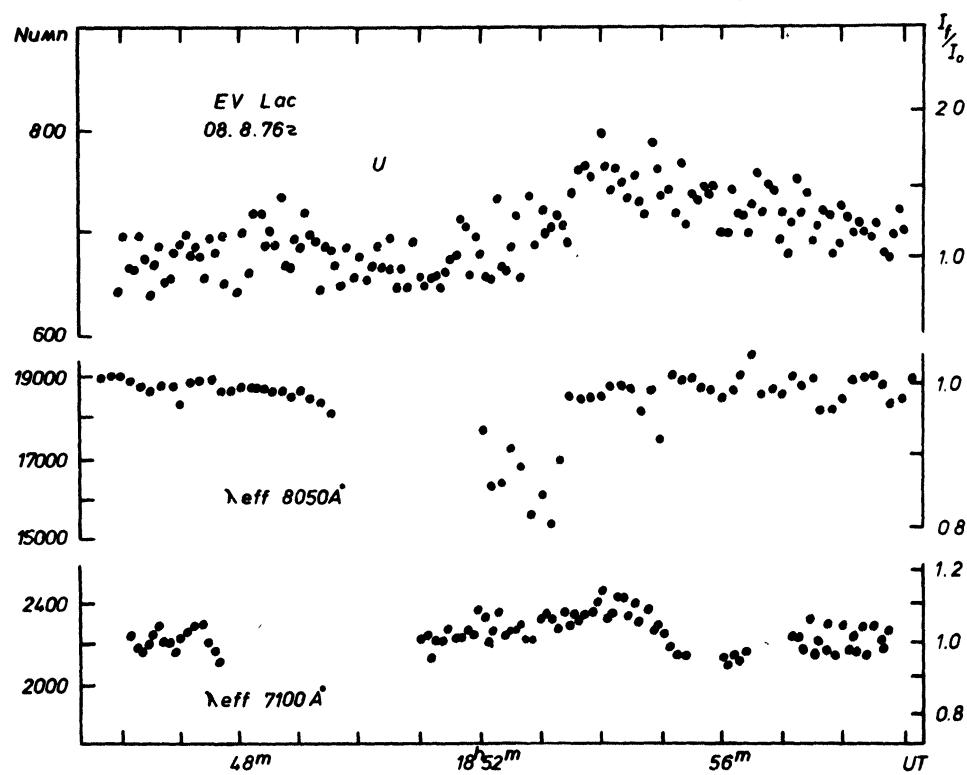
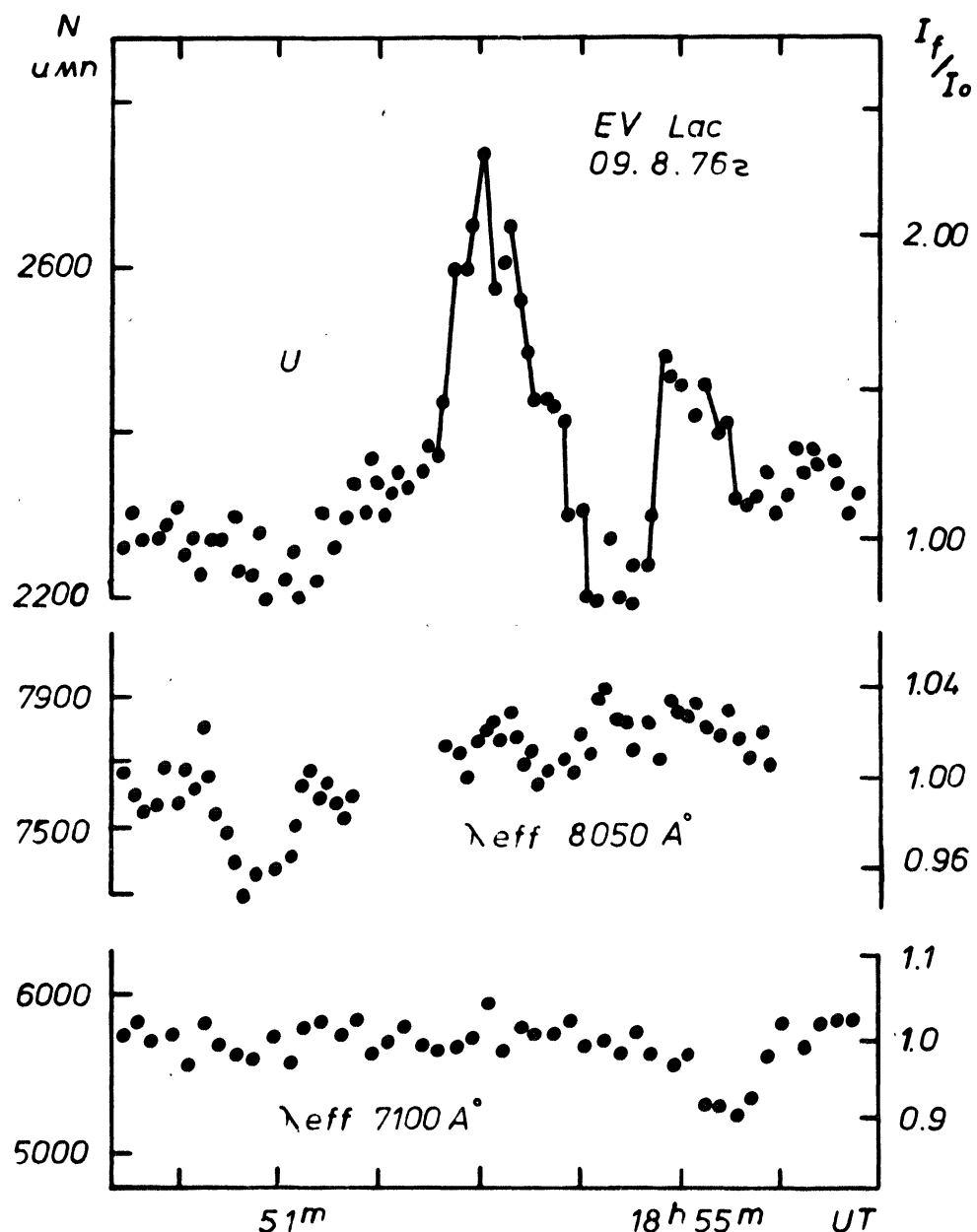


Рис. 24. Вспышка EV Lac 8.08.76 № 1.



Pic. 25. Вспышка EV Lac 9.08.76 № 2.

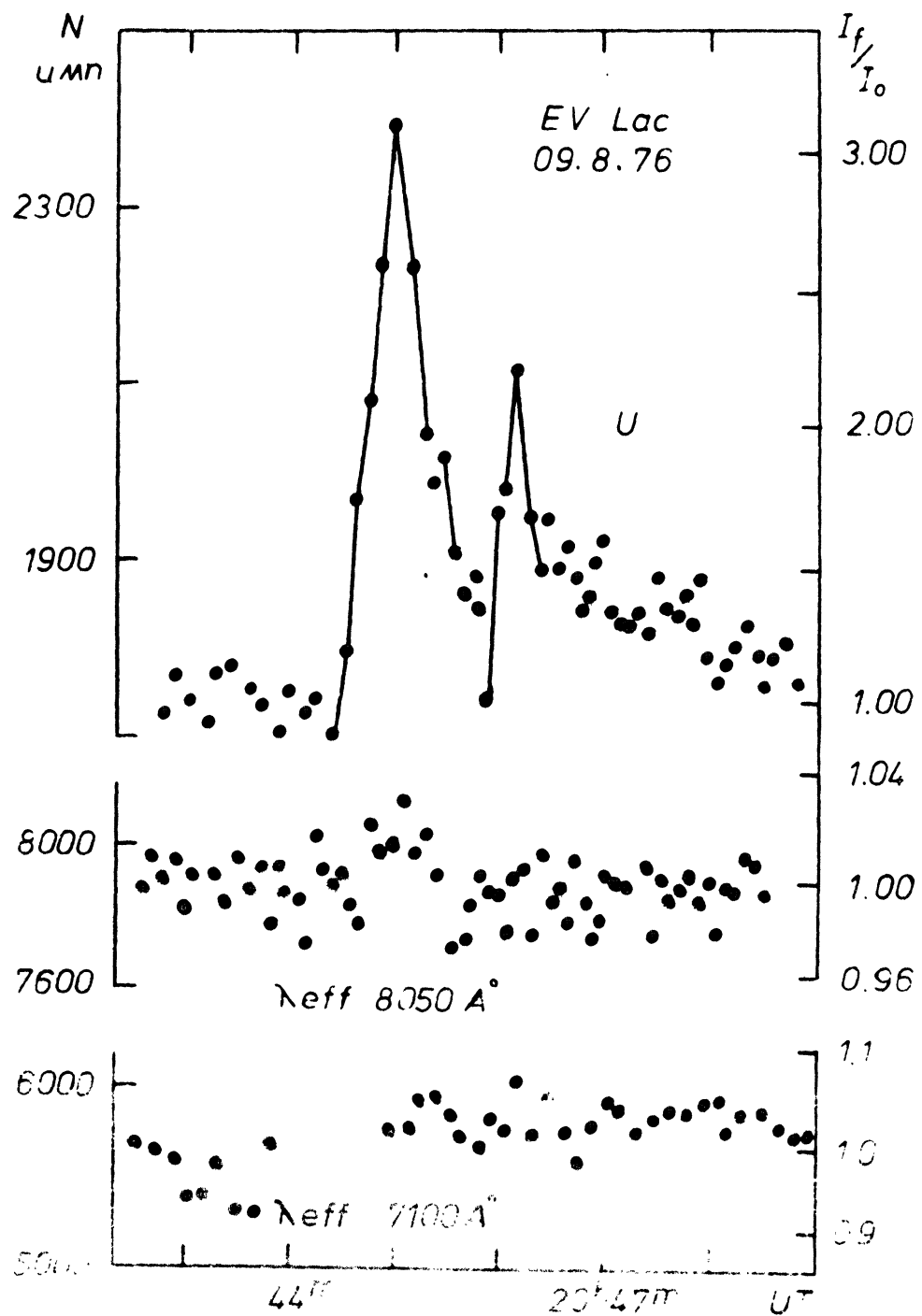
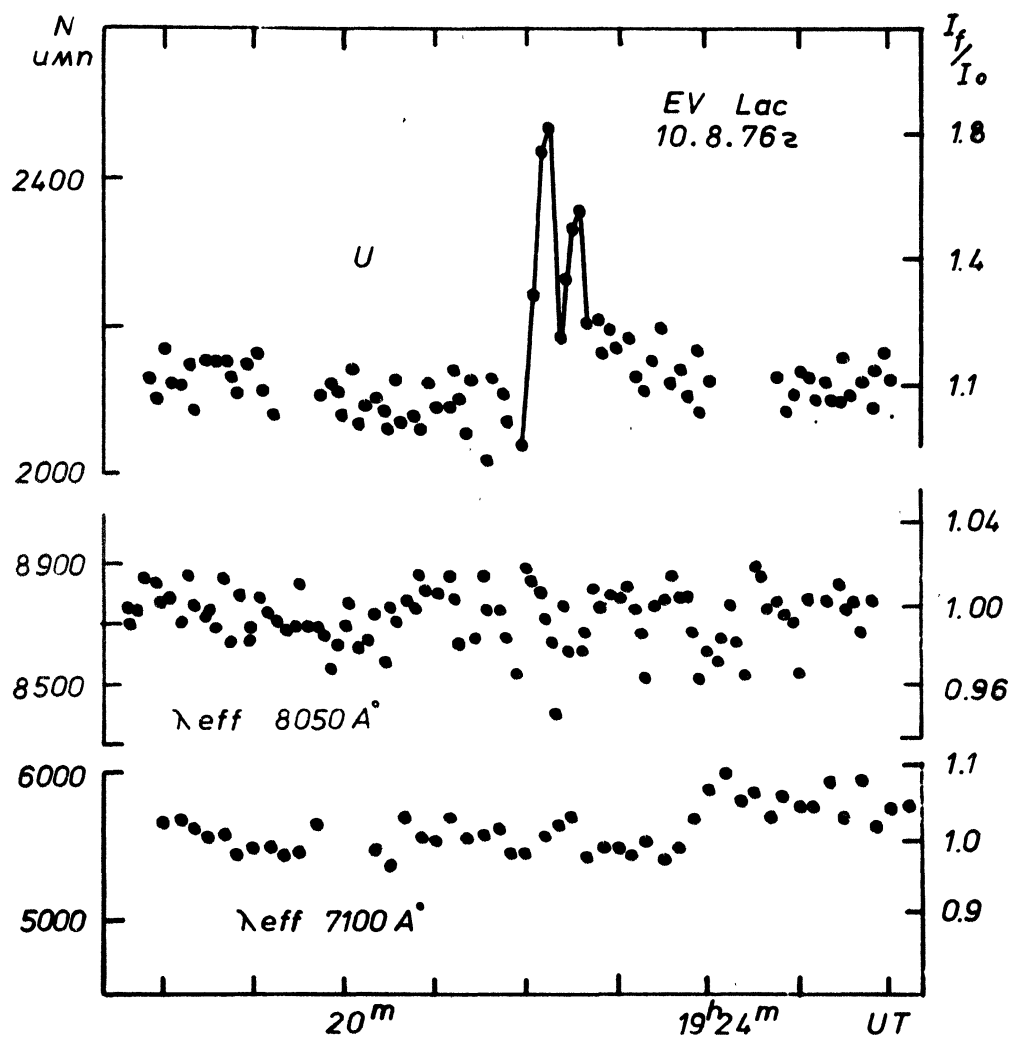
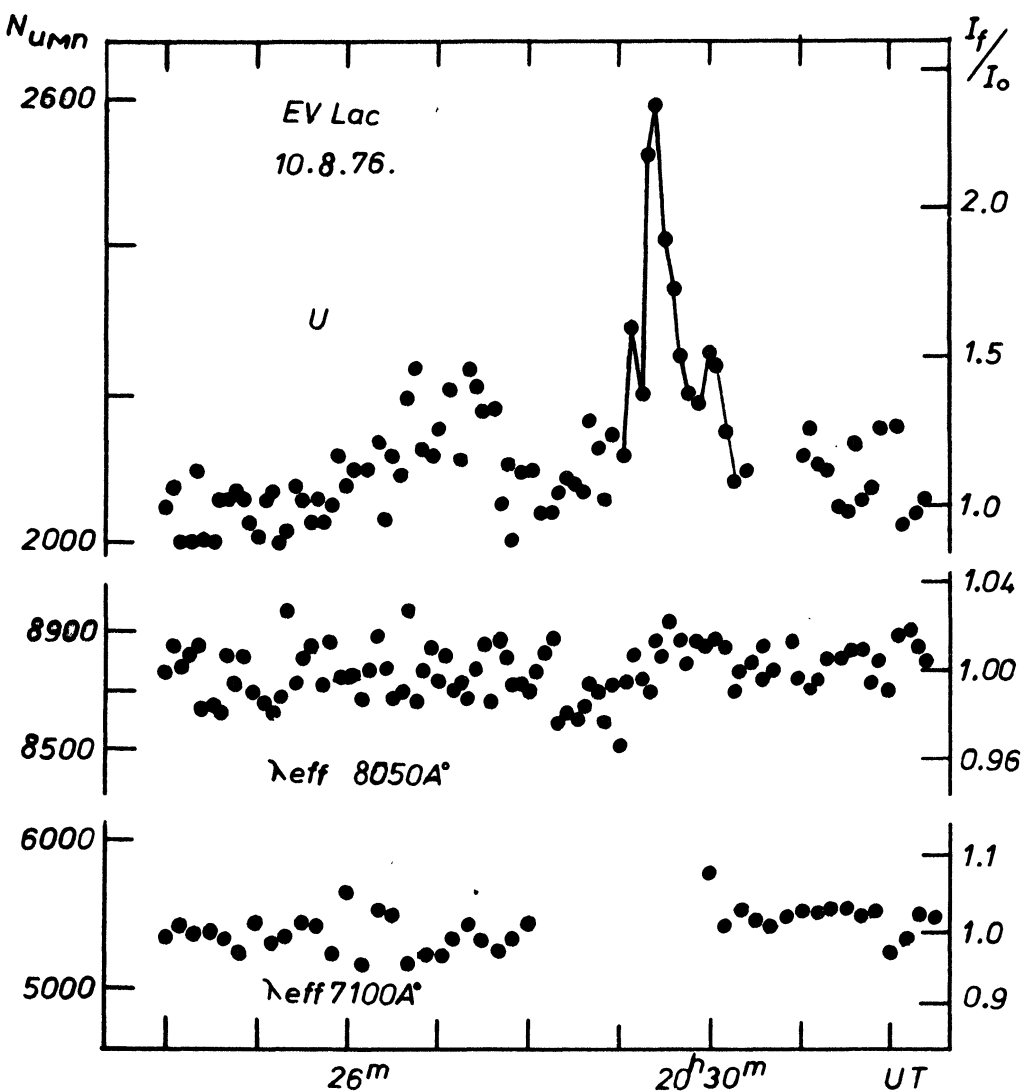


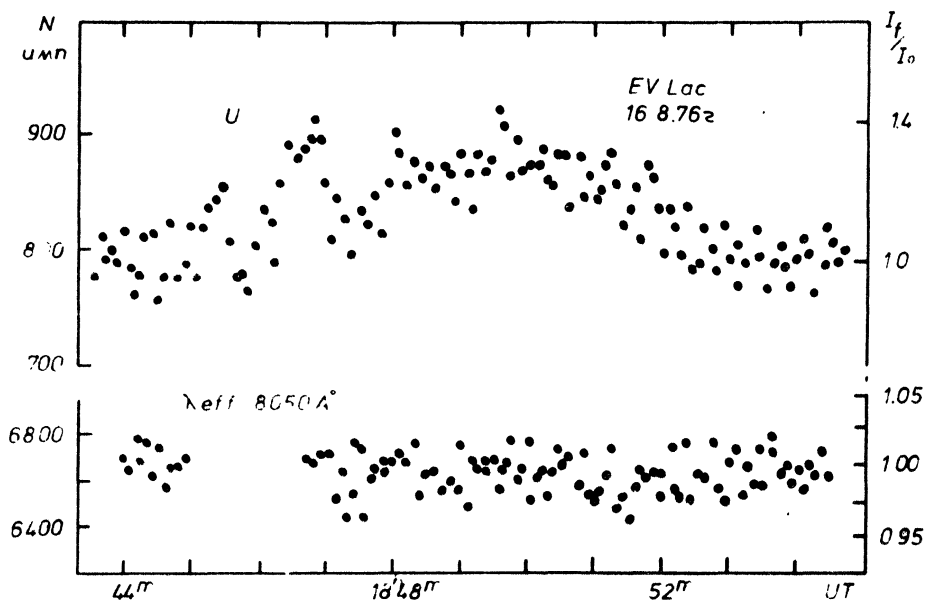
Рис. 26. Вспышка EV Lac 9.08.76 № 3



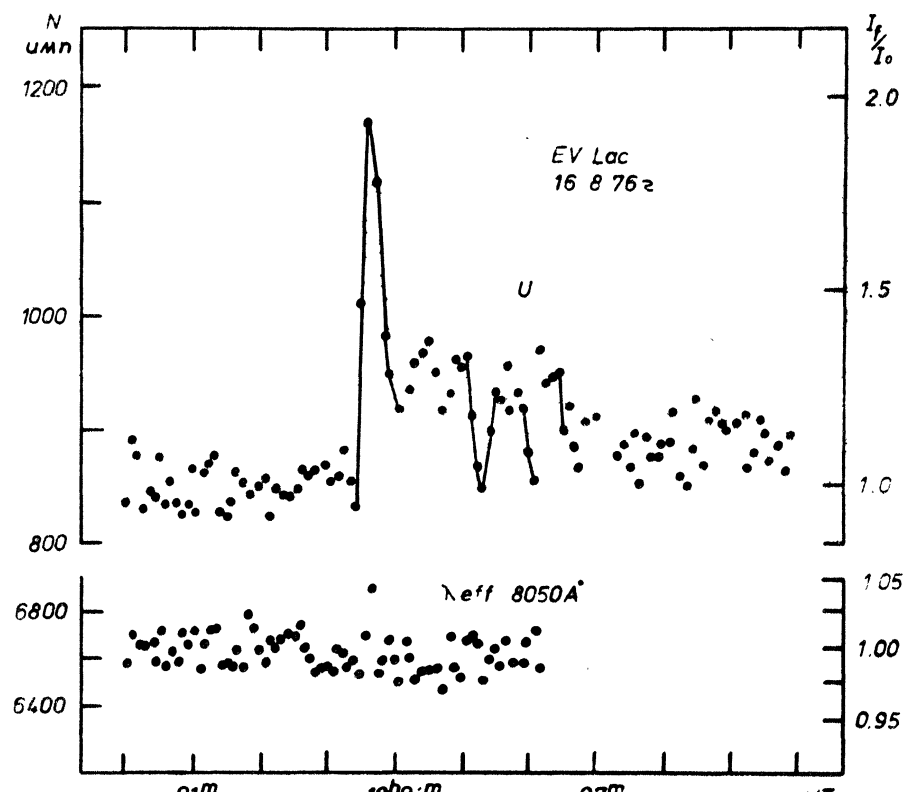
Пл. 27. Вспышка EV Lac 10.08.76 № 1.



*Рис. 28. Вспышка EV Lac 10.08.76 № 2.*



Puc 29 Вспышка EV Lac 16 08 76 № 1



Puc 30 Вспышка EV Lac 16 08 76 № 2

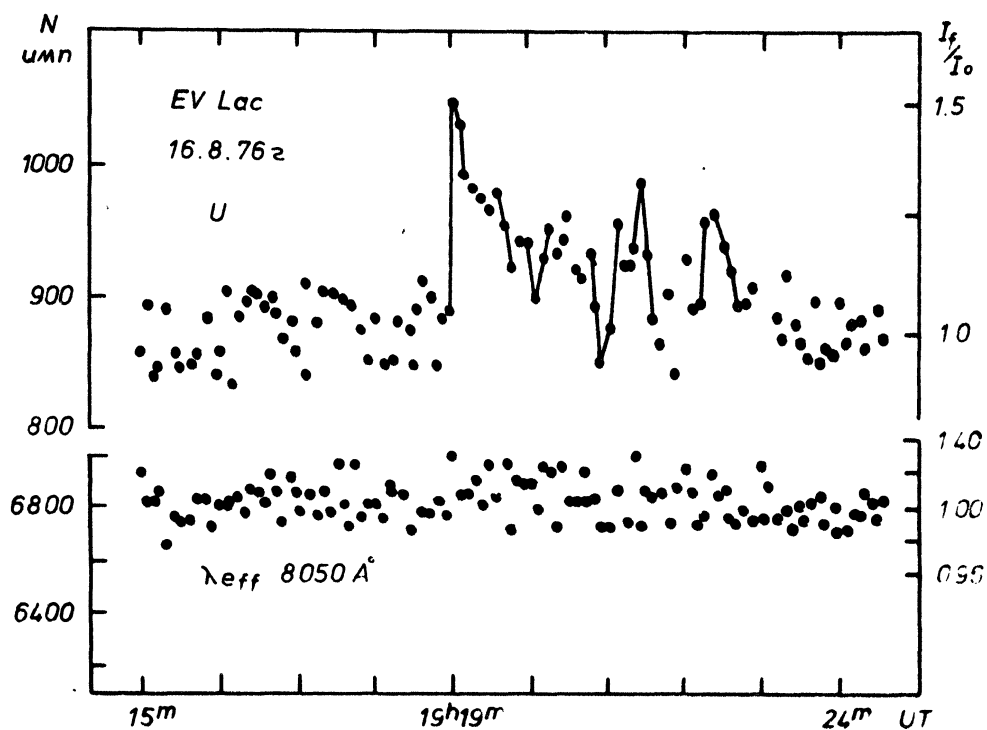


Рис. 31. Вспышка EV Lac 16.08.76 № 3.

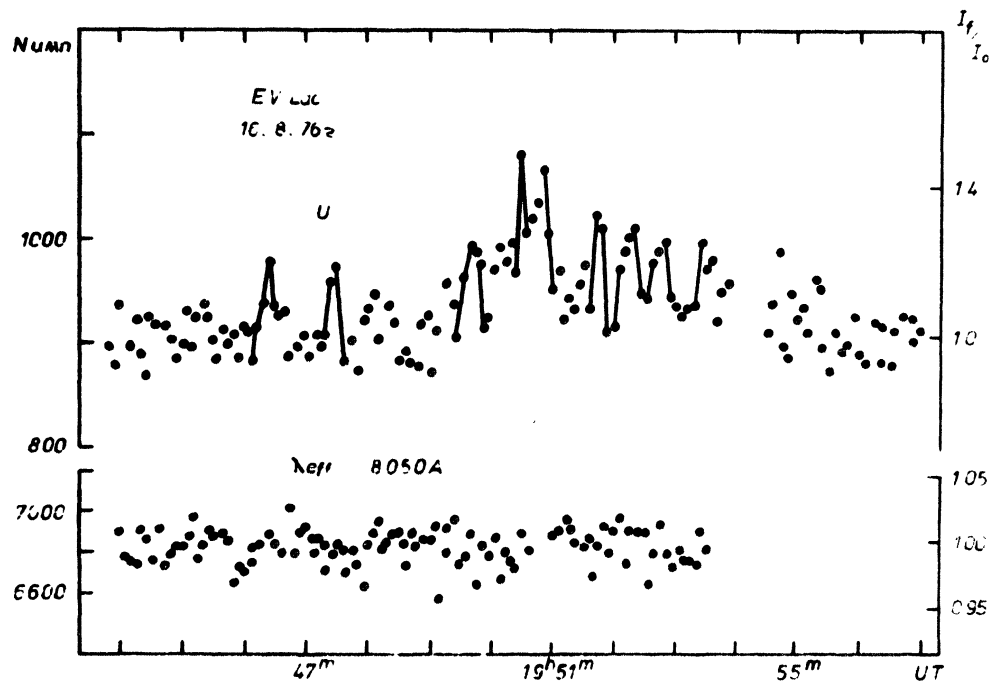


Рис. 32. Вспышка EV Lac 16.08.76 № 1

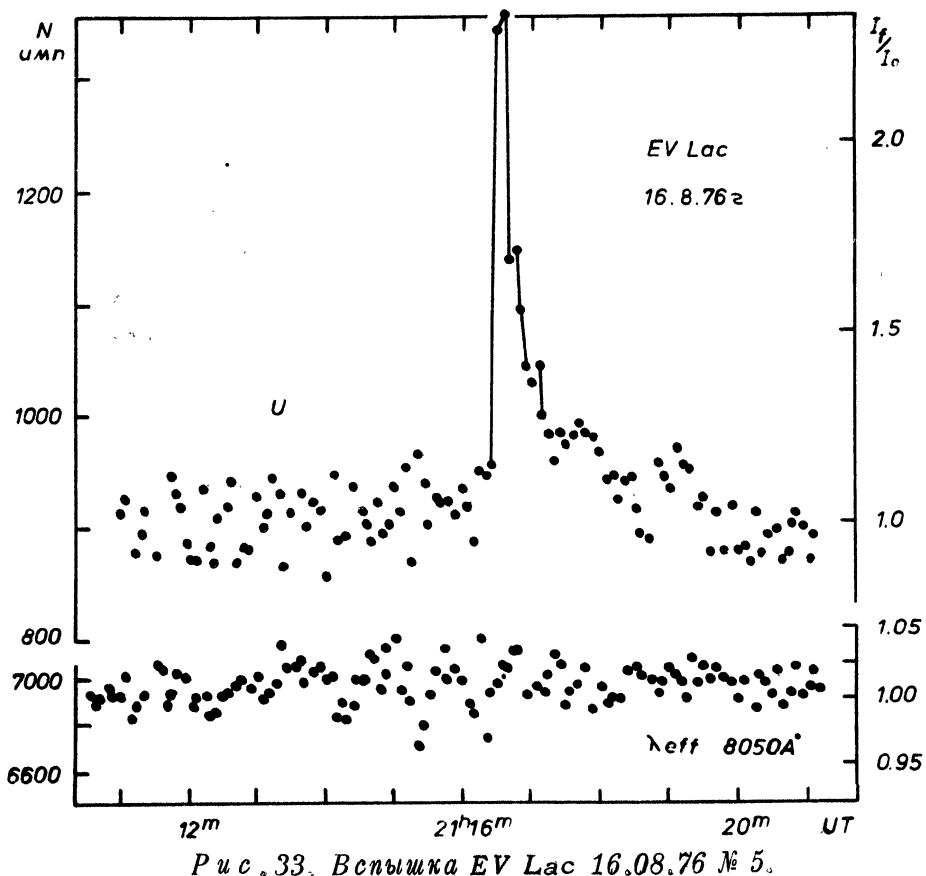


Рис. 33. Вспышка EV Lac 16.08.76 № 5.

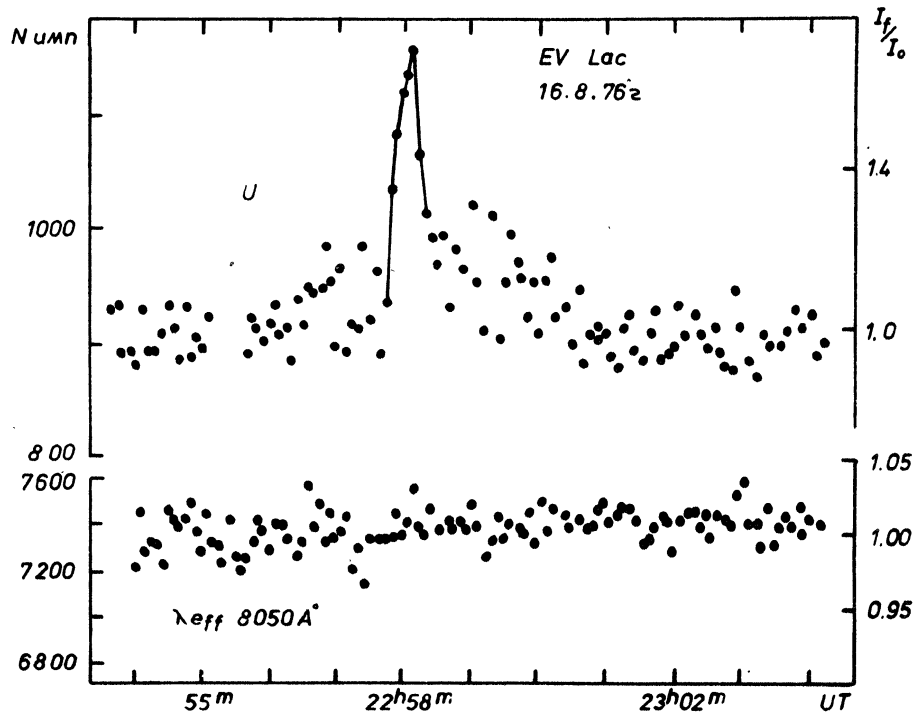


Рис. 34. Вспышка EV Lac 16.08.76 № 6.

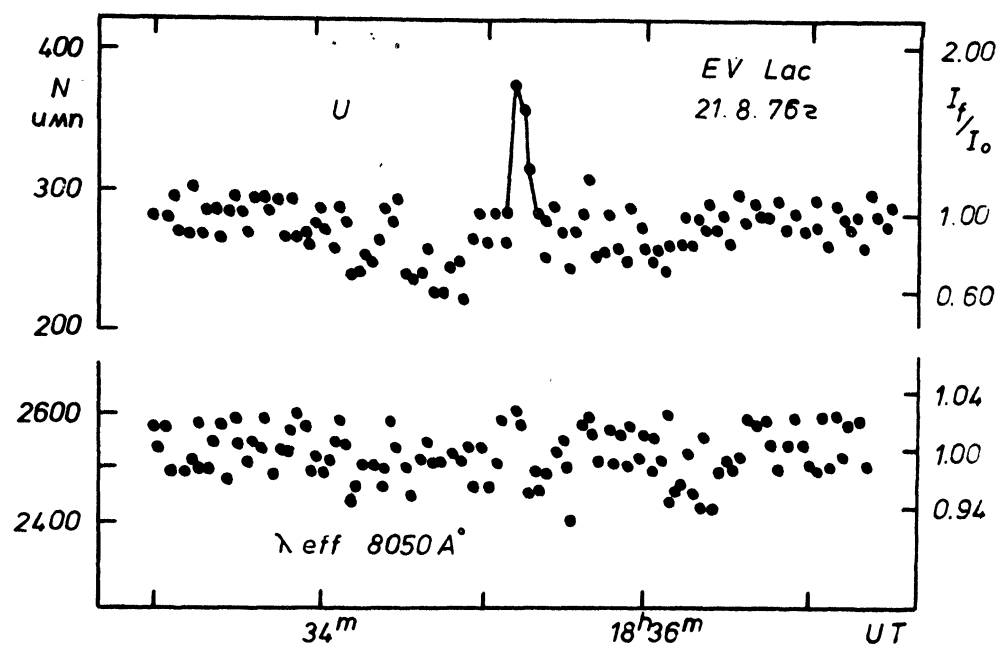


Рис. 35. Вспышка EV Lac 21.08.76 № 1.

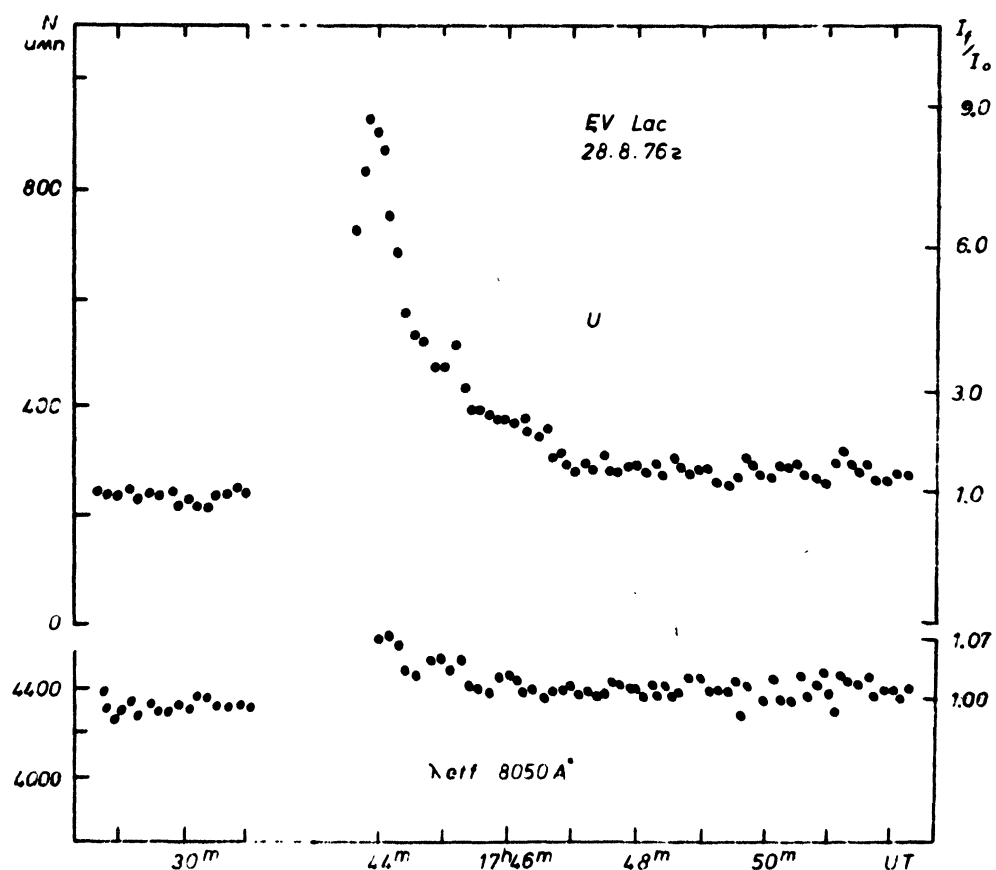


Рис. 36. Вспышка EV Lac 28.08.76 № 1.

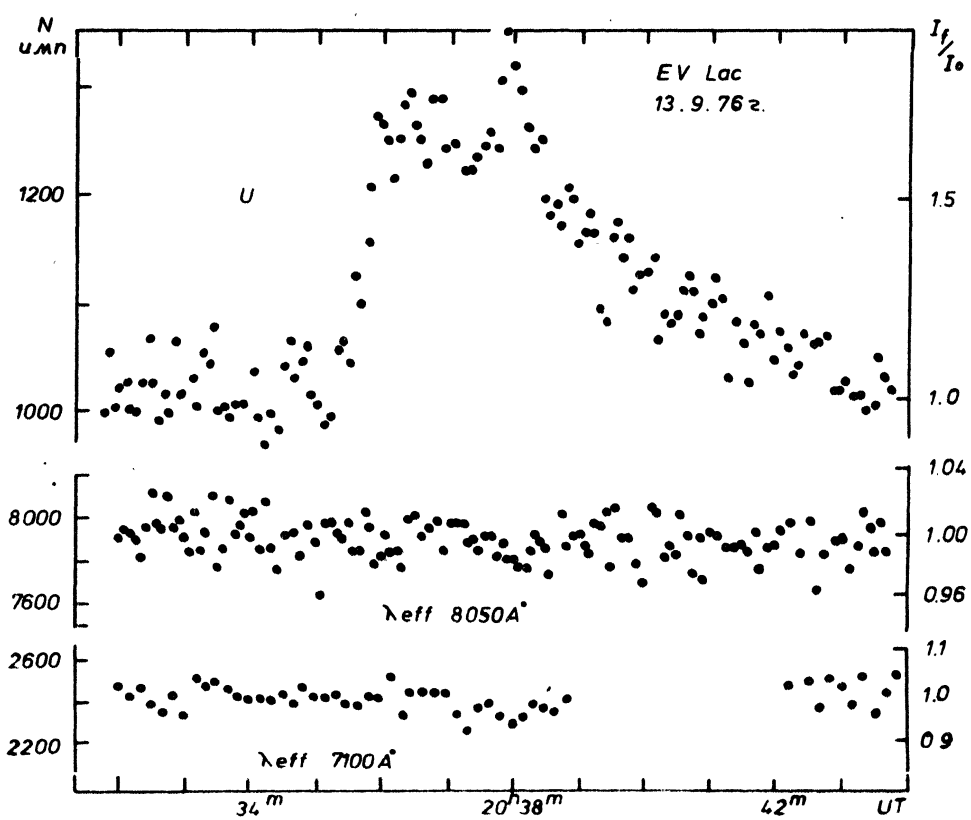
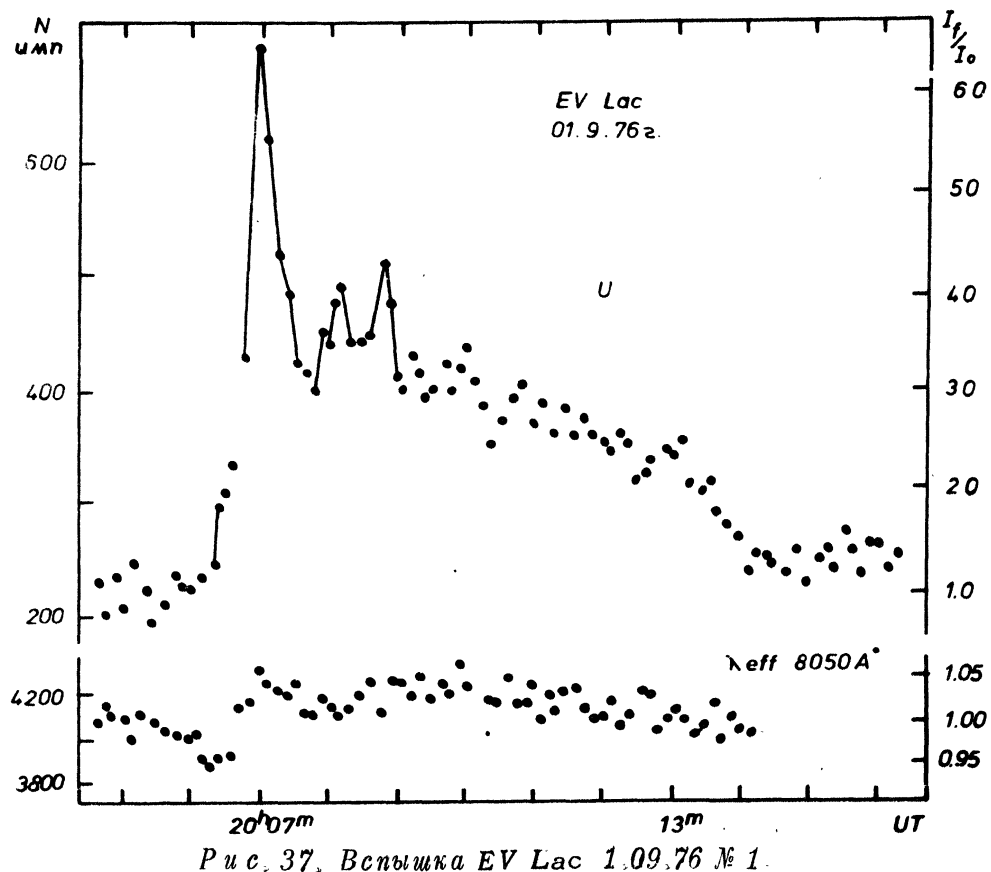


Таблица 2.

## Патрульные наблюдения UV Кита.

Дата	Начало наблю- дений	Конец наблю- дений	№ вспл.	Момент макси- мума	$\Delta T_1$ сек.	$\Delta T_2$ сек.	$\Delta T_3$ сек.	$\Delta m_u$	Прим.	1	2	3	4	5	6	7	8	9	10
										UT									
20.08.76	22 40 <sup>m</sup>	23 30 <sup>m</sup>	1	23 <sup>h</sup> 01 <sup>m</sup> 00 <sup>s</sup>	22	2	30	1 <sup>m</sup> 45											
21.08.76	20 50	23 50	1	21 45 10	5	15	60	1.14											
			2*	22 29 45	4	8	-	(0.90)											
			3*	22 31 25	14	-	-	(1.00)	1										
			4*	22 31 55	4	10	200	(1.54)											
			5*	23 08 00	10	15	54	1.7											
			6	23 16	-	-	-	1.44	2										
			7*	23 31 00	17	22	300	3.80											
22.08.76	20 40	23 30	1*	21 08 50	6	4	98	3.40											
			2*	21 24 10	70	108	320	2.60											
			3	21 47 46	3	2	10	1.70											
			4	22 15 00	7	3	10	1.40											
			5	22 23 12	18	8	45	1.30											
			6	22 28 28	17	15	42	1.50											
			7	22 29 12	5	8	20	0.86											
			8	22 30 45	10	15	35	1.62											
			9	23 07 50	2	15	17	0.90											
23.08.76	20 40	23 34	1	21 34 10	7	20	54	1.36											
			2	21 54 25	5	4	15	1.38											
			3	21 58 27	4	2	10	1.08											
			4	22 02 34	10	17	36	1.68											
			5*	22 34 58	100	60	600	3.90											
			6*	22 46 00	130	330	--	2.90	3										
24.08.76	20 05	22 30	1*	20 16 27	26	-	-	4.42											
			2*	20 16 36	-	10	1400	4.30	4										
			3	22 15 56	2	14	17	1.00											
			4	22 24 28	2	8	14	1.04											
25.08.76	19 30	22 50	1	20 19 45	2	7	10	1.30											
			2	20 31 30	5	7	17	1.34											
			3	20 32 24	5	7	14	0.80											
			4	20 32 40	2	14	19	1.22											
			5	20 36 43	10	5	17	1.04											
			6	20 45 04	4	10	17	0.60											
			7	20 45 41	2	7	10	0.84											
			8	20 47 12	9	7	19	0.96											
			9	20 52 28	7	10	22	0.88											
			10*	20 58 00	2	16	30	0.84											
			11	21 13 58	21	10	46	2.00											
			12	21 27 24	5	27	48	1.00											
			13	21 31 32	7	5	12	1.30											
			14	21 43 24	20	65	5	1.35											
			15	21 48 38	2	33	53	1.10											
			16	21 50 24	14	60	90	1.10											
			17	22 33 14	3	14	46	1.25											
			18	22 38 30	5	60	120	1.44											
26.08.76	20 30	22 00	1	20 38 5	16	12	120	1.60											
			2*	20 46 36	20	14	-	4.80	5										
			3*	20 46 57	-	14	270	4.32											
			4	21 00 2	10	6	34	1.25											
			5*	21 05 14	2	17	34	0.94											
			6*	21 08 12	130	180	1680	2.14											
			7	21 46 06	5	17	40	0.80											
			8	21 48 30	10	25	96	1.14											
			9	21 56 00	5	30	45	1.16											

Таблица 2 (продолжение)

1	2	3	4	5	6	7	8	9	10
<b>28.08.76</b>	<b>21 50</b>	<b>23 12</b>	1 *	22 01 50	7	10	390	2.74	
			2	22 12 36	12	19	55	1.14	
			3 *	23 05 58	2	10	100	2.26	
<b>29.08.76</b>	<b>20 00</b>	<b>21 40</b>	1	20 22 26	5	24	38	0.80	
			2	20 23 40	30	30	70	1.06	
			3	20 46 30	7	3	15	1.22	
			4	20 46 56	12	15	50	1.26	
			5	20 48 30	12	48	72	1.14	
			6	20 53 40	2	15	40	0.90	
			7	21 04 30	5	8	18	0.84	
			8	21 07 08	17	15	55	1.12	
			9	21 10 55	18	40	70	0.90	
			10	21 16 17	12	14	55	1.30	
			11	21 20 25	24	36	75	1.22	
			12	21 30 25	10	40	220	1.60	
<b>30.08.76</b>	<b>19 50</b>	<b>23 00</b>	1	20 25 30	12	40	100	1.24	
			2	20 33 43	3	15	40	1.28	
			3	20 57 32	10	31	110	2.06	
			4	21 08 40	80	180	300	0.62	
			5	22 58 58	28	180	180	0.86	
<b>2.09.76</b>	<b>21 00</b>	<b>23 30</b>	1	21 23 45	2	12	24	0.70	
			2	21 32 14	4	12	30	0.66	
			3	21 35 00	2	28	25	1.10	
			4	21 35 36	2	20	36	1.12	
			5 *	21 37 22	19	8	180	2.26	
			6	22 00 14	2	10	60	1.02	
			7	22 02 32	4	32	46	0.80	
			8	22 37 38	2	6	60	1.48	
			9	22 57 45	3	12	31	1.02	
			10	22 59 22	2	4	32	1.20	
			11	23 20 02	4	32	140	1.44	
<b>15.09.76</b>	<b>20 00</b>	<b>21 50</b>	1 *	20 23 40	12	5	-	4.94	6
			2 *	20 26 00	12	-	-	5.12	7
			3 *	20 26 16	8	14	510	4.80	
			4 *	20 36 50	-	-	840:	<3	8

**Примечания:**

1. Интенсивность после 2-й вспышки понизилась до  $0^m22$ , началась вспышка 3. Интенсивность после 3-й вспышки понизилась до  $0^m86$ , началась вспышка 4.

2. Начало и максимум вспышки №6 не зарегистрированы.

3. Конец вспышки 6 не зарегистрирован; в  $22^h58^m$  интенсивность понизилась до  $0^m4$ .

4. Интенсивность после 1-й вспышки понизилась до  $3^m95$ , началась вспышка 2; в графе  $\Delta T_3$  вспышки 2 проставлена общая длительность 1-й и 2-й вспышки.

5. Интенсивность после 2-й вспышки понизилась в  $20^h46^m50^s$  до  $4^m06$ , началась вспышка 3; в графе  $\Delta T_3$  3-й вспышки проставлена общая длительность 2-й и 3-й вспышки.

6. Интенсивность после 1-й вспышки в  $20^h24^m22^s$  понизилась до  $0^m24$ , началась следующая вспышка.

7. Интенсивность после 2-й вспышки понизилась в  $20^h26^m08^s$  до  $4^m32$ , началась вспышка 3.

8. Начало и максимум вспышки не зарегистрированы.

Таблица 3.

## Патрульные наблюдения EV Lac.

Дата	Начало наблюдений	Конец наблюдений	№ всп.	Момент максимума	$\Delta T_1$	$\Delta T_2$	$\Delta T_3$	$\Delta m_u$	Прим.
					сек.	сек.	сек.		
	UT	UT		UT					
1	2	3	4	5	6	7	8	9	10
5.08.76	20 <sup>h</sup> 30 <sup>m</sup>	21 <sup>h</sup> 40 <sup>m</sup>	-	--	-	-	-	-	-
6.08.76	17 30	22 54	1*	21 <sup>h</sup> 31 <sup>m</sup> 45 <sup>s</sup>	30	42	349	2.41	
7.08.76	17 06	23 00	-	-	-	-	-	-	
8.08.76	16 25	23 15	1*	18 54 2 21 05 27 3 21 53 17	54 3 621	113 32 162	400 50 1140	0.67 0.41 1.20	
9.08.76	16 07	23 30	1 2* 3*	17 55 27 18 53 00 20 45 00	5 32 24	5 24 16	32 280 200	0.37 0.90 1.25	
10.08.76	16 30	23 20	1* 2*	19 22 12 20 29 28	5 16	34 48	95 72	0.64 0.94	
11.08.76	17 00	18 17	-	-	-	-	-	-	
16.08.76	18 10	23 15	1* 2* 3* 4* 5* 6*	18 48 00 19 03 40 19 19 00 19 50 30 21 16 40 22 58 5	50 5 5 60 17 22	250 12 33 120 17 20	480 360 180 240 190 160	0.38 0.72 0.45 0.40 0.94 0.59	
17.08.76	17 30	22 50	1 2	20 01 50 21 59 00	45 34	380 250	1080 490	0.50 0.43	
20.08.76	17 25	23 20	1	20 48 00	16	48	104	0.60	
21.08.76	17 55	20 20	1*	18 35	14	7	40	0.66	
22.08.76	16 00	20 30	-	-	-	-	-	-	
23.08.76	16 50	20 00	-	-	-	-	-	-	
24.08.76	16 55	19 30	-	-	-	-	-	-	
25.08.76	17 30	18 50	-	-	-	-	-	-	
26.08.76	18 10	21 50	1 2	18 54 10 19 59 20	32 16	80 56	220 320	0.56 0.58	
28.08.76	17 02	19 30	1*	17 44 00	40	36	1080	2.40	
29.08.76	17 24	19 30	-	-	-	-	-	-	
30.08.76	16 10	19 30	1	17 39	-	-	900	0.74	1
1.09.76	16.50	23 25	1*	20 06 04	33	24	900	2.05	
6.09.76	19 00	22 10	-	-	-	-	-	-	
7.09.76	18 00	22 00	1 2 3	18 45 00 18 57 00 21 14 05	10 10 22	33 25 120	190 60 780	0.41 0.93 0.54	
8.09.76	19 23	23 00	1	-	-	-	-	-	
9.09.76	20 25	21 30	-	-	-	-	-	-	
13.09.76	19 40	22 50	1 2 2* 3	19 48 30 20 36 30 20 38 4 21 15 28	11 55 22 6	5 - 90 22	45 390 - 55	0.70 0.60 0.72 0.54	2

**Примечания:**

1. Начало и максимум вспышки не зарегистрированы.

2. Интенсивность после 2-й вспышки понизилась в 20<sup>h</sup>37<sup>m</sup>40<sup>s</sup> до 0<sup>m</sup>.42, началась вспышка 2. В графе  $\Delta T_3$  указана общая длительность обеих вспышек.

Таблица 4.

*Предвспышечное ослабление блеска в И-К области спектра.*

Дата и № вспышки	Звезда	Амп- ли- тида туда в U	вре- мя от на- чала осла- блени- я блеска в i до макси- мума в U(сек.)	Ампли- тель- ность осла- блени- я блеска в i	Продол- житель- ность осла- блени- я блеска в i	$\lambda_{\text{зф}} \text{ Å}$	Приим.
1	2	3	4	5	6	7	8
9.08 № 3	EV Lac	0 <sup>m</sup> .90	160	0.06	60	8050	1
"		"	"	0.00	"	7100	
16.08 № 5		0.94	70	0.03	10	8050	
"		"	18	0.03	10	"	
16.08 № 7		0.59	50	0.02	15	"	
21.08 № 7	UV Cet	3.80	38	0.35	5	"	
22.08 № 1		3.40	15	0.07	8	"	
22.08 № 2		2.60	58	0.07	7	"	2
23.08 № 5		3.90	24	0.10	7	"	
23.08 № 6		2.90	60	0.20	12	"	2
24.08 № 1		4.42	30	0.07	10	"	
26.08 № 2		4.80	58	0.18	18	7100	3
28.08 № 1		2.74	70	0.08	6	8050	
"		"	20	0.08	6	"	
1.09 № 1	EV Lac	2.05	45	0.04	25	8050	
2.09 № 5	UV Cet	2.26	18	0.15	6	"	
15.09 № 1		4.94	70	0.03	22	"	
15.09 № 2		5.12	42	0.10	8	"	4
15.09 № 4		4	40	0.05	7	"	5
"		"	"	0.00	-	7100	5

*Примечания:*

1. Синхронно с ослаблением блеска в фильтре  $i_2$ , отмечено ослабление блеска в U на  $0^m.2$ ;
2. "Медленная" вспышка в U.
3. Двухпиковая вспышка в U.
4. Ослабление относительного среднего уровня в i в перерыве между двумя вспышками №1 и №2.
5. Амплитуда в U вычислена по зависимости  $\Delta m_i = 0.0018 (\Delta m_U)^3$ .

Таблица 5.

## Вспышка UV Cet №7

21.08.76 г.

Время УТ	U	$\lambda_{\text{эфф}}$	8050 Å		
			имп/2 сек	имп/2 сек	1
1	2	3			
			(ФОН 29)	(ФОН 137)	
23 <sup>h</sup> 29 <sup>m</sup> 00 <sup>s</sup>	44	972	23 <sup>h</sup> 31 <sup>m</sup> 22 <sup>s</sup>	294	1013
02	45	1002		24	1081
05	48	1001		27	1067
07	63	1024		29	1013
09	50	1013		31	241
12	62	1003		34	199
14	58	1038		36	212
17	45	1011		39	209
19	50	1008		41	199
22	52	1027		43	198
24	40	1019		46	178
27	45	978		48	194
29	50	1038		50	188
31	60	998		53	162
34	44	1033		55	180
36	53	1043		58	171
39	51	1016	32	00	1022
41	38	961		02	150
43	45	1006		05	155
46	61	977		07	156
48	55	992		09	129
50	60	974		11	144
53	45	943		14	157
55	47	1019		17	125
58	58	993		19	143
30 00	59	1021		22	119
02	48	983		24	121
05	51	986		27	122
07	49	960		29	107
09	52	994		31	118
12	53	1015		34	122
14	49	943		36	100
17	48	942		39	119
19	57	1084		41	114
22	53	762		43	106
24	50	742		46	144
27	56	1080		48	102
29	48	1010		50	121
31	59	995		53	117
34	54	995	33	00	1017
36	54	995		55	107
39	42	993		58	99
41	59	1025		02	102
43	53	1034		04	109
46	77	1049		07	107
48	108	1050		09	92
50	114	1002		11	107
53	191	1001		14	106
55	449	1055		16	97
58	520	1102		18	73
31 00	559	1156		20	83
02	560	1093		23	101
04	480	1061		25	101
07	454	1101		27	92
09	378	1038		30	79
11	386	1067		32	96
14	357	1046		34	78
17	305	1073		37	89
19	333	1049		39	83

Таблица 6.

## Вспышка UV Cet №1

24.08.76 г

	1	2	3
		(ФОН 33)	(ФОН 156)
20 <sup>h</sup> 15 <sup>m</sup> 00 <sup>s</sup>	36	1278	
02	48	1289	
04	47	1241	
07	40	1252	
09	45	1303	
11	47	1294	
14	46	1259	
16	48	1264	
18	44	1256	
21	35	1246	
23	37	1249	
25	40	1279	
28	35	1243	
30	38	1289	
33	36	1303	
35	49	1273	
37	51	1308	
40	53	1259	
42	49	1289	
44	57	1277	
47	53	1285	
52	61	1307	
54	64	1204	
57	74	1200	
59	70	1295	
61	68	1278	
63	60	1255	
71	71	1267	
74	90	1286	
76	143	1338	
12	143	1338	
15	240	1350	
17	428	1320	
19	631	1355	
22	682	1407	
24	524	1330	
25	457	1298	
28	471	1320	
31	492	1382	
33	556	1394	
35	481	1353	
38	415	1324	
40	295	1336	
42	214	1304	
45	235	1326	
47	198	1298	
49	169	1320	
52	156	1277	
54	156	1283	
57	130	1264	
59	124	1260	
61	120	1284	
63	135	1241	
66	129	1253	
68	151	1249	
70	131	1279	
73	134	1289	
75	174	1250	
77	250	1276	
79	182	1289	
82	190	1290	

1	2	3	1	2	3	1	2	3
20 <sup>h</sup> 17 <sup>m</sup> 24 <sup>s</sup>	142	1243	20 <sup>h</sup> 46 <sup>m</sup> 09 <sup>s</sup>	57	90	20 <sup>h</sup> 49 <sup>m</sup> 05 <sup>s</sup>	60	90
27	120	1245	12	56	97	08	53	88
29	123	1271	14	43	90	10	75	88
32	131	1247	16	44	96	13	61	87
34	111	1282	18	43	94	15	59	89
36	102	1256	20	55	92	17	54	85
39	113	1282	23	48	96	20	53	92
41	105	1280	25	58	99	22	66	87
43	103	1257	28	51	93	24	49	90
46	97	1291	30	94	100	27	50	86
48	98	1233	33	149	99	29	51	91
50	108	1221	35	308	108	32	47	90
53	113	1275	38	1130	120	35	48	85
55	94	1277	40	1115	124			
57	96	1282	43	870	112			
18	00	83	1297	45	770	108		
02	71	1230	48	605	110			
04	75	1291	50	587	104			
07	88	1285	52	502	109			
09	70	1294	55	582	107			
11	79	1263	58	663	116	1	2	3
14	72	1274	47	00	106			
16	68	1248	02	506	110			
18	65	1232	05	405	99	(ФОН 66) (ФОН 554)		
21	74	1272	08	371	104	20 <sup>h</sup> 21 <sup>m</sup> 00 <sup>s</sup>	87	3377
23	72	1253	10	364	98		02	3382
25	66	1279	13	350	97		07	92
28	53	1295	15	320	102		09	82
30	58	1246	18	305	101		11	96
32	68	1259	21	282	105		14	105
35	62	1285	23	266	97		16	78
37	68	1226	26	261	95		19	83
39	62	1238	28	235	102		21	94
42	68	1268	31	243	107		23	89
44	64	1271	33	205	93		26	90
46	60	1233	36	201	92		28	90
			39	201	101		30	99
			41	198	92		33	85
			44	179	97		35	89
			46	161	98		37	91
			49	168	100		40	82
			51	165	95		42	93
			54	139	102		44	91
								3354
20 <sup>h</sup> 45 <sup>m</sup> 00 <sup>s</sup>	45	94	56	123	100	20 <sup>h</sup> 21 <sup>m</sup> 00 <sup>s</sup>	47	81
02	39	93	59	120	105		49	84
05	40	87	48	01	134		51	77
07	42	89	03	137	104		53	81
09	44	89	06	130	104		57	90
12	45	94	08	117	98		59	88
14	40	92	11	114	96	22	01	94
16	36	89	14	111	101		03	97
18	47	91	16	118	95		05	89
20	47	96	19	110	98		08	78
23	42	89	21	103	93		10	83
25	37	93	24	100	96		12	88
28	39	90	26	106	86		15	82
30	42	88	29	91	92		17	86
33	42	91	31	82	93		19	84
35	48	89	34	78	95		22	85
38	38	88	36	69	86		24	89
40	48	79	39	78	90		26	93
43	53	83	41	82	88		29	84
45	35	80	44	67	88		31	97
48	36	83	46	62	86		33	87
50	43	79	49	70	93		36	79
52	48	74	51	70	90		38	92
55	38	80	53	79	88		40	103
58	46	90	55	77	94		43	75
46	00	41	88	57	77		45	73
02	38	85	59	69	86		48	89
05	51	86	49	01	61		50	93
07	48	67	03	55	87		52	96
							55	87
								3431

Таблица 8.

Вспышки UV Cet №1,  
№2, №3 15.09.76 г.

Таблица 7.

44	179	97	35	89	3360
46	161	98	37	91	3385
49	168	100	40	82	3385
51	165	95	42	93	
54	139	102	44	91	3354
48	01	134	98		
07	42	89	53	81	3384
09	44	89	57	90	
12	45	94	59	88	
14	40	92	60	94	3408
16	36	89	61	97	
18	47	91	63	89	3378
20	47	96	65	89	
23	42	89	68	83	3373
25	37	93	70	88	
28	39	90	72	88	3402
30	42	88	74	86	
33	42	91	76	84	3337
35	48	89	78	84	
38	38	88	80	89	3342
40	48	79	82	86	
43	53	83	84	97	3290
45	35	80	86	97	
48	36	83	88	97	3364
50	43	79	90	98	
52	48	74	92	92	
55	38	80	94	92	3345
58	46	90	96	93	
46	00	41	98	96	3450
02	38	85	98	93	
05	51	86	98	96	3496
07	48	67	98	97	

1	2	3	1	2	3	1	2	3
$20^h 22^m 58^s$	89		$20^h 25^m 12^s$	224		$20^h 27^m 28^s$	273	
23 00	71	3379		15	229	3315	30	290
02	96			17	209		32	256
04	80	3383		19	222		34	238
07	77			22	198	3579	37	243
09	106	3419		24	199		39	220
11	88			27	188	3528	42	261
14	70	3420		29	206		44	267
16	106			31	184		46	232
18	98			34	186	3501	48	215
21	94	3465		36	215		51	213
23	89			39	214		53	214
25	129	3470		41	203	3521	55	211
28	213			43	216		58	200
30	410			46	242	3571	28 00	203
32	740	3697		48	412		02	222
35	1097			51	734	3592	04	226
37	1573	3999		54	1237		07	206
39	1388			56	1710	3680	09	195
42	743	3785		58	1822		11	205
45	625			26 00	1840	4056	13	221
47	583	3660		02	1568		16	226
49	465			05	1303	3863	18	190
52	408	3545		07	1076		20	213
54	399			09	1096		23	195
57	404	3568		12	1145	3671	25	185
24 00	376	3531		14	1156		27	159
02	316			16	1286	3790	30	186
04	329	3524		19	1431		32	198
07	272			21	1261	3792	34	220
09	264			23	1136		37	226
11	255	3494		26	1015	3744	39	180
14	247			28	827		42	175
16	217	3527		30	708	3680	44	167
19	206			33	673		47	183
21	225	3542		35	581	3619	49	292
23	266			38	541		51	200
26	289	3595		40	510	3564	54	201
28	332			42	462		56	169
30	346	3589		45	470	3556	59	184
33	362			47	418		29 00	180
35	327	3594		50	360	3495	02	182
38	330			52	392		04	153
40	340	3486		55	380	3534	07	194
42	321			57	393		08	198
44	310			27 00	341	3561	12	179
47	303	3424		02	314		14	192
49	292			04	349	3548	17	186
51	296	3513		07	318		19	179
54	277			09	334		21	169
56	264	3536		11	328	3534	24	191
59	240			14	306		26	197
25 01	246	3524		16	280	3536	28	178
03	258			18	287		31	169
05	264	3494		21	270	3502	33	193
08	269			23	262		36	196
10	243	3561		25	257	3590	38	176

### Литература:

- Гершберг, Шаховская, 1973 – Gershberg R.E., Shakhovskaya N.I., Nature Phys. Sci. 242, 85.
- Гершберг Р.Е., 1977, Астрофизика (обз. статья), в печати.
- Гринин В.П., 1976, Известия КРАО 55, 179,
- Гурзадян Г.А., 1973, "Вспыхивающие звезды", Наука, М.
- Исаков И.С., 1975, "Исследование экстремально молодых звездных комплексов, "Фан", 64.

Килячков Н.Н., Шевченко В.С., 1976, Письма в АЖ, 2, 494.  
Кункель, 1968--Kunkel W.E., IBVS 315.  
Моффет, 1972-- Moffet T.J., Nature Phys. Sci. 240, 41.  
Страйжис В., Свидерскене З., 1972, Бюлл. Вильнюс. астрон.  
обсерватории, 35, 3.

Астрономический институт  
АН УзССР

*Поступила в редакцию  
1 августа 1977 г  
Изменения внесены  
28 февраля 1978 г*